

Міністерство освіти і науки України  
Сумський державний університет  
Факультет технічних систем та енергоефективних технологій  
Кафедра технічної теплофізики

**КВАЛІФІКАЦІЙНА РОБОТА**  
здобувача за другим (магістерським) рівнем вищої освіти  
за освітньо-професійною програмою  
«Холодильні машини і установки»  
зі спеціальності 142 «Енергетичне машинобудування»  
на тему «Пароежекторна холодильна машина з  
геліосистемою нагрівання теплоносія»

## ПОЯСНЮВАЛЬНА ЗАПИСКА

Завідувач кафедри

С. М. Ванеєв

Керівник роботи

М. Г. Прокопов

Здобувач

Г. А. Леоньков

Суми 2022

3MICT

Змн.	Арк.	№ докум.	Підпис	Дата	ХМ 07.00.00.00 ПЗ			
Розроб.		Леоньков Г. А.			Пароежекторна холодильна машина з геліосистемою нагрівання теплоносія			
Перевір.		Прокопов М. Г.						
Н. Контр.		Шарапов						
Затверд.		Ванеєв						
					Літ.	Арк.	Актуалів	
						2	74	
					СумДУ Х.М.-11			

7.2. Правила експлуатації холодильної установки .....	65
8. ПІДБІР ОСНОВНОГО ОБЛАДНАННЯ.....	68
8.1 Підбір сонячного колектору.....	68
8.2 Підбір парогенератора.....	69
8.3 Підбір конденсатора.....	70
ВИСНОВКИ.....	72
СПИСОК ВИКОРИСТАНИХ ДЖЕРЕЛ .....	73

Змн.	Арк.	№ докум.	Підпис	Дата	Арк.
					3

ХМ 07.00.00.00 ПЗ

## ВСТУП

Сучасний світ неможливо уявити без енергоресурсів, які є невід'ємною частиною життя кожної людини. Людство задовольняє свої матеріальні потреби завдяки виробництву продукту на основі природних ресурсів.

Енергетичні ресурси класифікують за вичерпністю так: ядерні, відновлювані і невідновлювані. До невідновлюваних відносять земельні і мінеральні ресурси (нафта, газ, вугілля, залізна руда, мідь, уран, нікель, платина, алмази). Як приклад розглянемо нафту: за оцінками вчених, це "чорне золото" може закінчитися в найближчі 40 років. У цьому плані відновлювані ресурси мають велику перевагу над невідновлюваними. Відновлювані енергоресурси - це ресурси, які людина дістає з процесів, які постійно відбуваються у навколошньому середовищі, тому її ще називають регенеративною або "зеленою". Відновлювану енергію отримують з природних джерел. Основними є сонячне світло і вітер, водні потоки.

На нашій планеті сонячна енергія є головним джерелом енергії. У першу чергу, така енергія дає тепло для людини і можливість отримувати електрику, а також відкриває широкий спектр можливостей використання її для людських потреб. Наприклад, існують сонячні батареї, які дозволяють перетворювати енергію Сонця в постійний електричний струм. Використовувати їх можна по-різному: для зарядки акумуляторів дрібної побутової техніки; для роботи на міжнародній космічній станції; для забезпечення електрикою будинки, що знаходяться на територіях, де Сонце перебуває більшу частину дня. Не можна не згадати сонячні колектори, які можуть збирати енергію шляхом нагрівання матеріалу-теплоносія. У нашій країні поступово розвивається галузь сонячної енергетики. На даний момент отримання електроенергії в промислових масштабах на сонячних електростанціях(СЕС) є дуже популярним і доступним, бо перспектива зменшити витрати за рахунок можливості відновлювання ресурсу приваблює як інвесторів із-за кордону, так і міських підприємців.

Змн.	Арк.	№ докум.	Підпис	Дата	ХМ 07.00.00.00 ПЗ	Арк.
4						

# 1. ГЕЛОТЕХНІЧНІ СИСТЕМИ ДЛЯ НАГРІВАЛЬНИХ ЦЛЕЙ

## 1.1 Застосування сонячної енергії

Сонячне випромінювання – це електромагнітна енергія, яку дає нам сонце. Сонячна енергія насамперед дешева і вигідна, чиста і надходить постійно в дістатку, що робить її не менш важливою для людства на фоні вітрової та водної енергії.

Треба розуміти, що використання сонячної енергії у промислових або побутових масштабах має дуже багато плюсів:

- захист навколошнього середовища через відсутність викидів шкідливих речовин (газів);
- енергія є тепловою і абсолютно безкоштовною;
- установки та електростанції, які працюють на сонячних батареях є цілком безшумними;
- термін експлуатації сонячних установок становить більше 30 років, що є дуже тривалим;
- можливість виготовлення сонячних батарей або колекторів у побуті;
- можливість використання як основного, так і додаткового джерела постачання енергії;
- енергія не залежить від зовнішніх джерел енергії, що робить її автономною у роботі;
- постійні перепади електричної напруги відсутні;
- сонячні батареї і колектори легше споруджуються і встановлюються, ніж установки для традиційних способів енергопостачання;
- установки є самообслуговуючими, що значно полегшує життя людей, багато вільного часу, бо не треба подавати паливо.

Повний потік енергії, який дає Сонце, становить  $3,9 \cdot 10^{26} \frac{\text{Дж}}{\text{с}}$ .

Змн.	Арк.	№ докум.	Підпис	Дата	ХМ 07.00.00.00 ПЗ	Арк.
5						

Частота сонячного випромінювання, яке спрямоване на нашу планету, залежить від різних факторів, основними можна виділити такі:

- рівня атмосферного поглинання;
- розташування Сонця;
- кількості хмар;
- широтне розташування місцевості

Недоліком же використання сонячної енергії є той факт, що промені Сонця можуть поглинатися дрібними частинками в повітрі, навіть пилом.

Сонячні системи дають нам можливість просто і без перешкод отримувати енергію і задовольняти наші потреби екологічно чистим способом.

По способу використання енергію Сонця ділять на пасивну та активну.

Активна енергія підрозділяється на фотогальванічну и теплову.



Рис.1.1 Класифікація сонячної енергії за способом використання

Найбільш поширене використання теплової енергії - нагрівання води або повітря. Також можна використовувати її в інших цілях: обробка теплом харчових продуктів, сушка, розділення рідких сумішей на різні за складом фракції, отримання пару.

Змн.	Арк.	№ докум.	Підпис	Дата	Арк.	6
					XМ 07.00.00.00 ПЗ	

Фотогальванічна ж енергія використовується для отримання електрики. Відбувається це за рахунок наявності в складі кремнієвих елементів, саме вони дають можливість перетворити сонячну енергію в електричну. Раніше енергію застосовували відразу ж після отримання, проте з часом навчилися накопичувати енергію в акумуляторної системі і використовувати її в потрібний проміжок часу.



Рис.1.2 Панель фотоелементів

Сонячна енергія генерується двома основними способами:

1. Системи концентрованої сонячної енергії (CSP – Concentrated Solar Power) основується на використанні дзеркал, які концентрують на собі сонячні промені. На рідину, яка розміщена в спеціальних ємностях, спрямовані промені Сонця, які доводять цю рідину до пароподібного стану, який в свою чергу своїм тепловим впливом призводить в рух турбіну, яка виробляє електроенергію. Технологія популярна на крупних підприємствах, де велика кількість дзеркал передає проміні на високу тонку вежу. Такі станції дуже зручні з точки зору можливості використання: навіть коли заходить Сонце, є термічне сховище, у якому деякий час можна зберігати енергію.

Змн.	Арк.	№ докум.	Підпис	Дата

ХМ 07.00.00.00 ПЗ

Арк.

7

2. За допомогою фотогальванічних елементів (PV – photovoltaic). Ці елементи – напівпровідники, які перетворюють сонячне світло в електричну енергію. Відбувається це за рахунок утворення фотоефекту, який отримуємо при впливі світла променів Сонця на неоднорідні структури напівпровідників. Енергія фотонів передається електронам цих пристройів-напівпровідників.

Унікальність кремнієвого елементу полягає в тому, що при падінні світла на нього утворюються вільні електрони, які і є причиною появи електричного струму. Тому цей елемент на даний момент масово використовується у виробництві фотоелементів. Найбільш ефективний фотоелемент виходить при використанні в створенні хімічної сполуки миш'яку і галію (арсеніду галію). Коефіцієнт корисної дії при концентрованій сонячній радіації коливається в діапазоні 25-28%. Для таких цілей виготовляють такі типи фотоелементів, у яких ККД може бути більше 30%.



Рис.1.3 Хімічний елемент Кремній

Цю сполуку також використовують для створення світлодіодів, інжекційних лазерів, СВЧ-генераторів. Пояснюється це тим, що кристали сильно легують кремнієм.

Змн.	Арк.	№ докум.	Підпис	Дата	ХМ 07.00.00.00 ПЗ	Арк.
						8

Під поняттям "пасивна сонячна енергія" мають на увазі енергію, яку використовують для опалення в архітектурно-будівельних елементах будівлі. Архітектори та інженери планують будівлю таким чином, щоб отримана сонячна енергія була спрямована всередину будівлі і акумулювалася там на певний проміжок часу, поки не знадобиться.

## 1.2 Сонячні колектори

Усі сонячні установки поєднує використання сонячного колектору.

Сонячний колектор поглинає сонячну радіацію, перетворюючи її на теплову. Є основою для будь-якою геліосистеми. Колектори поділяють на вакуумні, плоскі та колектори-концентратори.

Плоскі колектори зазвичай використовують в побуті для нагрівання води, тому що у співвідношенні ціна/якість є дуже простими та зручними. Особливістю плоских сонячних колекторів є те, що вони використовуються здебільшого в сонячних регіонах, так як у хмарну і несонячну погоду коефіцієнт корисної дії відчутно знижується. Головним недоліком є корозія, яка з'являється на селективному покритті адсорбера, що призводить до зниження ефективності всієї установки. Важливо відзначити, що при недотриманні температурного режиму, використовуючи колектори, може перегріватися адсорбер, що приведе до несправності установки.

Основними елементами конструкції плоских сонячних колекторів є:

- корпус, виготовлений з алюмінію;
- полікарбонат або захисне скло;
- розташований над адсорбера змійовик із мідними трубками;
- пластина адсорбера із міді, яка розміщується на всю площину корпусу.

Змн.	Арк.	№ докум.	Підпис	Дата

ХМ 07.00.00.00 ПЗ

Арк.

9

Принцип роботи плоских сонячних колекторів є такий: адсорбер нагрівається за рахунок сонячних променів, віддає теплову енергію змійовику, у якому протікає теплоносій.



Рис.1.4. - Плоский сонячний колектор у побуті

Інший представник ринку сонячних установок - вакуумні колектори. Такі колектори виграють у плоских з точки зору можливостей: можуть збирати сонячні промені в будь-яку погоду, тобто дають незалежність від зовнішнього фактору.

Змн.	Арк.	№ докум.	Підпис	Дата	Арк.
					10



Рис.1.5 Вакуумний сонячний колектор

Конструкція вакуумних колекторів:

1. Теплообмінник мідний.
2. Пластини, які поглинають сонячну енергію.
3. Теплові трубки, які розташовуються на пластинах.
4. Трубки вакуумні, які закривають пластини з тепловими трубками.

Між тепловими і вакуумними трубками утворюється вільний простір, який дає повну термоізоляцію. Теплові трубки покриті селективним шаром, який добре абсорбує енергію Сонця та достатньо зменшує втрати тепла. У теплових трубках присутнє невеличка кількість рідини, яка легко закипає.

Коли надходить тепло, рідина всередині починає випаровуватися і поступово забирає теплову енергію з вакуумної трубки. Пар, який виходить в процесі, потрапляє в накінечник, в якому відбувається процес конденсації і передачі тепла теплоносію основного контуру водоспоживання або ж незамерзаючої рідини опалювального контура. Цикл починається знову, коли

Змн.	Арк.	№ докум.	Підпис	Дата	ХМ 07.00.00.00 ПЗ	Арк.
11						

конденсат стікає вниз. Для підтримання постійного вакууму використовують барієвий газопоглинач. Нижній кінець вакуумної трубки покритий чистим барієм. Зроблено це для того, щоб шар барію поглинав вуглекислий газ, азот, кисень, водяну пару, водень, які виділяються з трубки під час зберігання і експлуатації.

Опалювальний контур відділений від трубок. Зроблено це для того, щоб при пошкодженні однієї з трубок, установка далі продовжила працювати в штатному режимі.

Резервуар-теплообмінник нагадує бойлер-накопичувач, саме в ньому накопичується і зберігається тепло. Складається з однієї або в більшості випадків декількох спіралей, призначених для теплообміну. Також компонентами системи є: насос, манометр (манометр), вентиль безпеки, набір, призначений для безпечної під'єднання до опалювальної системи, кран, який регулює кількість наливається води, клапан тиску і інші вентилі.

Система побудована таким чином, щоб до неї в потрібний момент часу, можна було під'єднати інші нагрівальні системи. в разі, якщо потрібно буде опалення і гаряча вода, то сонячна енергія рівномірно розподіляється між котлом і гарячим водопостачанням. При отриманні потрібної температури автоматична система перемикає подачу тепла на опалювальний контур.

Для стеження за температурним режимом і для вибору оптимального режиму роботи сонячного колектора використовують контролер.

Контролер має багато функцій:

- показує температуру в колекторі;
- показує температуру в резервуарі;
- показує температуру потоку теплоносія, який рухається назад;
- можливість встановити час включення і виключення опалювальної системи;

Змн.	Арк.	№ докум.	Підпис	Дата

ХМ 07.00.00.00 ПЗ

Арк.

12

- можливість встановити потрібну температуру або ж часу, за який відбудеться додатковий нагрів в разі потреби;
- установка температури "антифризу";
- установка температури, при якій вмикається примусова циркуляція теплоносія;
- індикація датчиків, які могли бути пошкоджені при роботі установки.

Як і будь якою системи, у вакуумних колекторів є свої певні недоліки:

1. Експлуатація в країнах з морозними погодними умовами. Узимку вакуумні колектори частіше покриті снігом, ніж плоскі колектори.
2. У порівнянні з плоскими колекторами, вартість набагато вище, але ефективність збільшується незначно.
3. Покриття для поглинання кисню не дасть одразу виявити відсутність вакуума. Самого вакуума не видно, що призводить до ускладнень у використанні.

Колектори частіше за все розташовують на поверхні даху. У нашій країні клімат не дозволяє взимку як слід використовувати колектори, тому що частина буде закрита снігом. Проте інженери рекомендують встановлювати колектори вертикально, під кутом приблизно 60 градусів. Щоб з колекторів міг падати сніг, бажано звільнити простір під ними.

Змн.	Арк.	№ докум.	Підпис	Дата	Арк.
					13

ХМ 07.00.00.00 ПЗ



Рис.1.6 Основні елементи сонячних вакуумних колекторів

### 1.3 Системи сонячного гарячого водопостачання

Для будівництва окремих домів найчастіше використовують системи сонячного гарячого водопостачання з пасивною циркуляцією теплоносія. Такі системи поділяють на одноконтурні і двоконтурні.

Змн.	Арк.	№ докум.	Підпис	Дата

Описати роботу одноконтурної термосифонної системи для нагріву води можна так:

- 1) сонячні промені проходять через скляне покриття колектору, відбувається процес нагріву панелі, та воду в її каналах;
- 2) при впливі температури щільність води стає менше, а нагріта рідина переміщається спочатку в верхню точку колектору, а потім і в бак-акумулятор;
- 3) в баку вода розшаровується в залежності від температури: холодна розміщується в нижній частині, а гаряча переходить у верхню точку;
- 4) Найхолодніша вода переміщається з нижньої частини бака по трубопроводу в нижню частину колектору;

У підсумку, за день, поки сонце знаходиться в активній фазі, бак повністю прогрівається. воду для використання відбирають з гарячих шарів, які розташовані у верхній частині бака. Відбувається це під тиском подачею холодної води в нижню частину бака, яка витісняє гарячу воду з бака [9].

У термосифонній системі нижня точка бака-теплоакумулятора повинна розташовуватися вище верхньої точки колектору і на відстані не більш ніж 3-4 м від колекторів. При насосній циркуляції бак-теплоакумулятор може розташовуватися довільно.

Двоконтурна відрізняється від одноконтурної наявністю замкнутого контуру, який складається з колекторів, баку-акумулятору, теплообмінника і трубопроводів. Цей контур заправляється незамерзаючим теплоносієм. У колекторі теплоносій нагрівається і надходить у верхню частину теплообмінника, віддаючи теплову енергію воді, яка знаходиться в баку. Далі теплоносій охолоджується і рушає вниз в колектори, постійно циркулює, якщо наявна сонячна радіація [9].

Змн.	Арк.	№ докум.	Підпис	Дата	ХМ 07.00.00.00 ПЗ	Арк.
15						

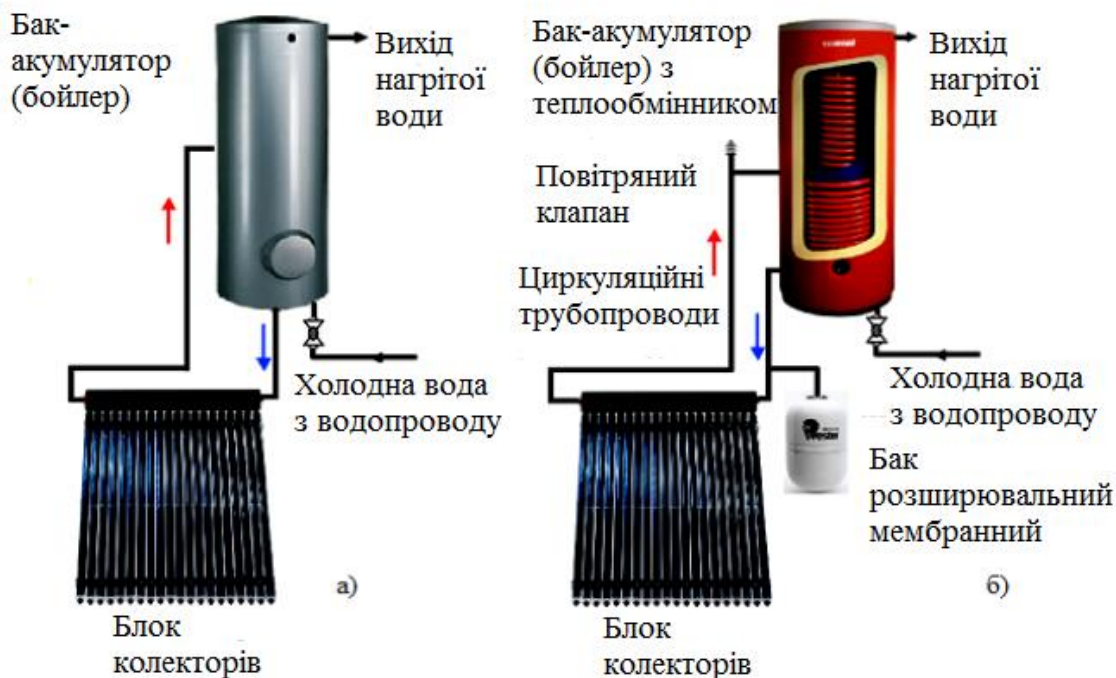


Рис.1.7 Принципові схеми систем сонячного гарячого водопостачання з пасивною циркуляцією теплоносія:

а) одноконтурна; б) двоконтурна

Розглянемо схему сонячного гарячого водопостачання з примусовою циркуляцією. Схема складається з таких компонентів:

1. Колектор.
2. Бойлер.
3. Контрольна панель.
4. Насос.
5. Розширювальний бак.
6. Джерело додаткового підігріву.
7. Вихід гарячої води.
8. Вхід холодної води.

Циркуляційний насос дозволяє помістити бак-теплоакумулятор у будь-якій частині приміщення. Напрям природної циркуляції в колекторах повинен збігатися з напрямком руху теплоносія. Датчики температур установлені на

Змн.	Арк.	№ докум.	Підпис	Дата

виході з колекторів і в баку. Вони керуються електронним блоком управління, який також керує увімкнення і ввімкнення насосу [9].

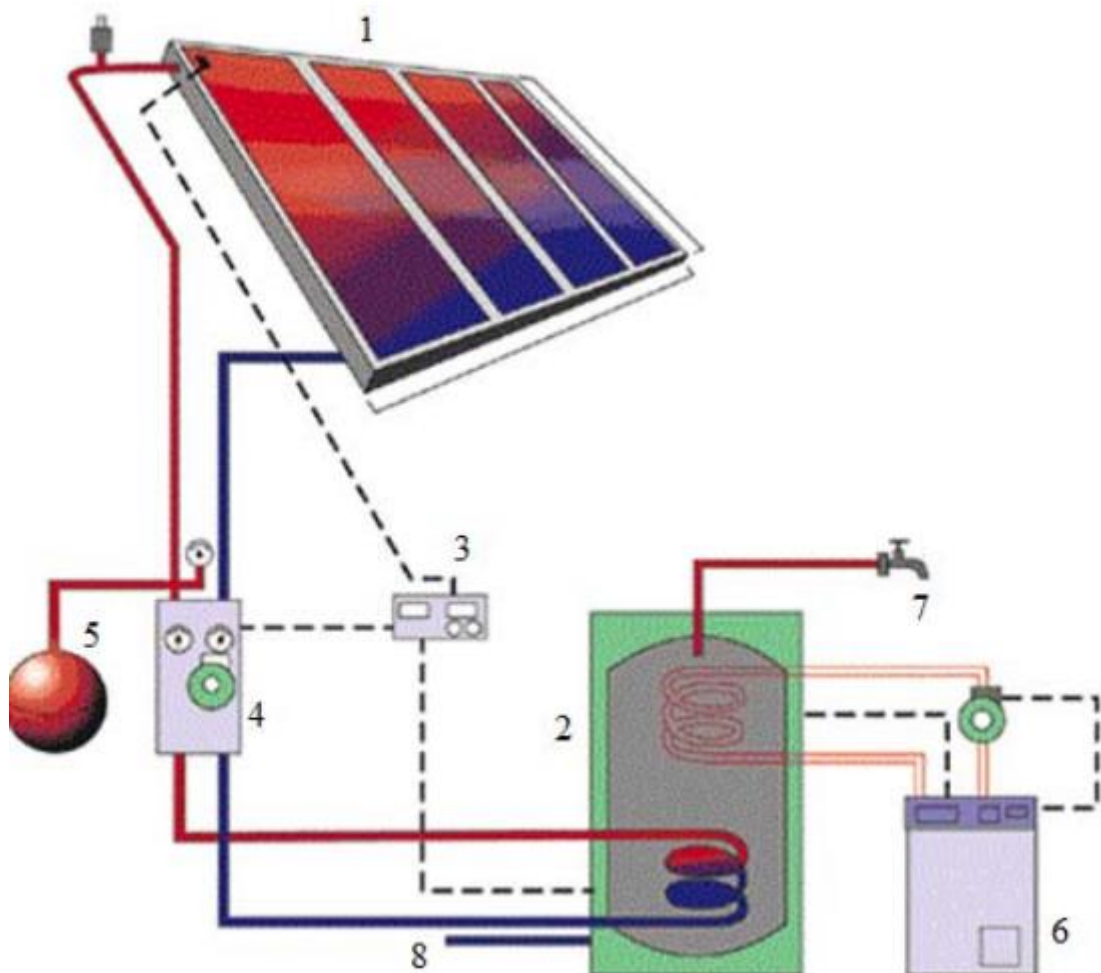


Рис.1.8 Схема системи сонячного гарячого водопостачання з примусовою циркуляцією теплоносія.

Змн.	Арк.	№ докум.	Підпис	Дата

## 2. ВИБІР СХЕМНОГО РІШЕННЯ

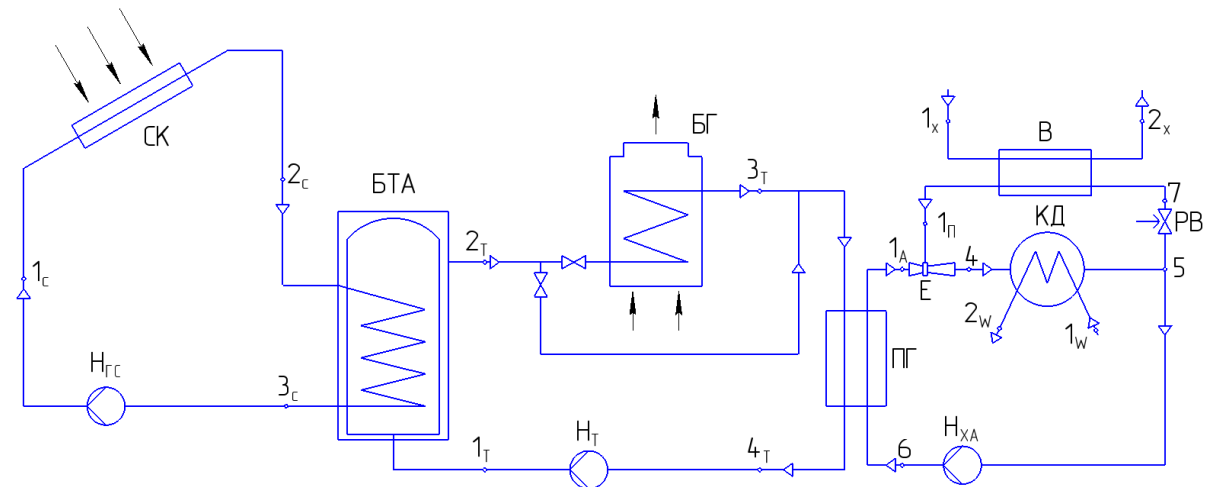


Рисунок 2.1. Функціональна схема ПЕХМ

Умовні позначення:

СК – сонячний колектор;

БТА – бак-теплоакумулятор;

БГ – бойлер газовий;

ПГ – парогенератор;

КД – конденсатор;

В – випарник;

Е – ежектор;

РВ – регулювальний вентиль;

$H_{GC}$  – насос теплоносія геліосистеми;

$H_T$  - насос проміжного теплоносія;

$H_{XA}$ - насос холодаагента.

I – контур геліосистеми;

II – контур проміжного теплоносія;

III – контур пароежекторної холодильної машини.

Змн.	Арк.	№ докум.	Підпис	Дата

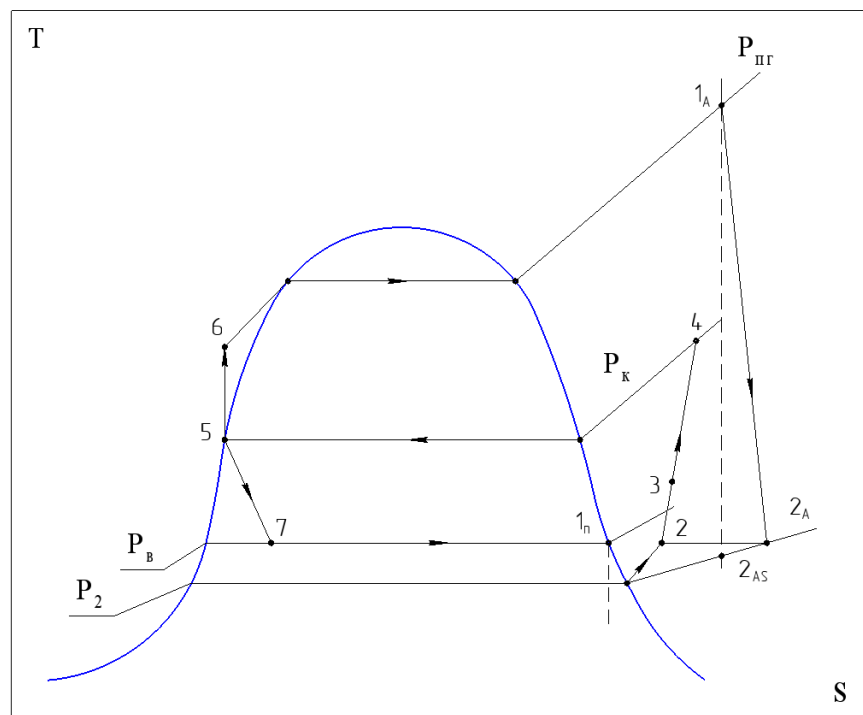
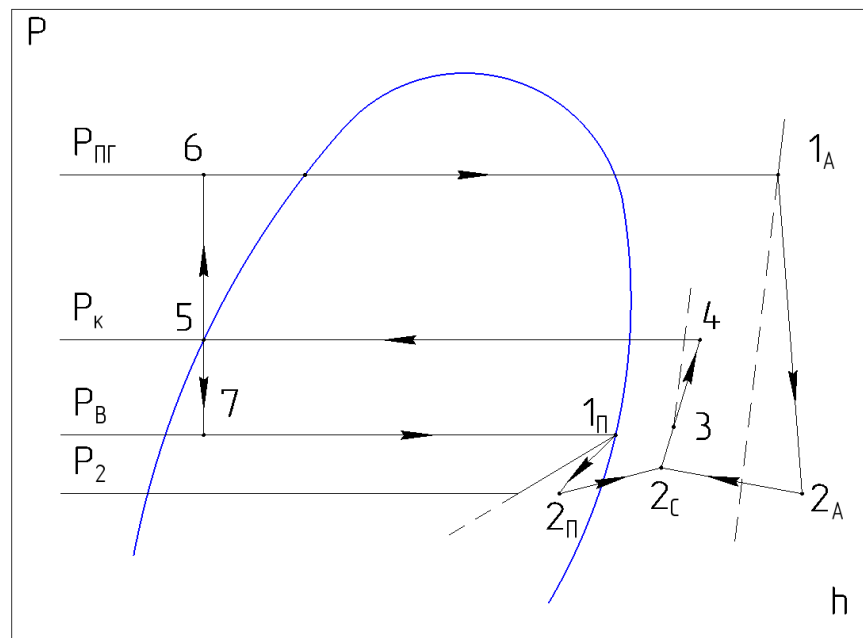


Рисунок 2.2. Процеси циклу ПЕХМ в T,S і p,h - діаграмах

Далі приведено процеси які протікають під час роботи ПЕХМ:

1A-2A – політропний процес, робоча пара активного потоку розширяється в сопловому каналі ежектору;

1Π-2Π – розширення пасивного потоку в приймальній камері ежектора;

Змн.	Арк.	№ докум.	Підпис	Дата

2П-2С, 2А-2С – змішення активного і пасивного потоку в камері змішення ежектора;

2С-3-4 – стиснення потоку змішання в камері змішення і дифузорі ежектора;

4-5 – на виході з ежектора змішаний потік стану 4 надходить до конденсатора, де у процесі 4-5 теплообміну охолоджується і конденсується;

У точці 5 конденсат розділяється на дві частини: активний і пасивний потік.

5-6 – активний потік конденсату поступає в парогенератор;

5-7 – пасивний потік конденсату після дроселювання розширюється до тиску і температури, що відповідає умовам кипіння робочої речовини у випарнику.

Змн.	Арк.	№ докум.	Підпис	Дата	ХМ 07.00.00.00 ПЗ	Арк.
						20

### **3. РОЗРАХУНОК ЦИКЛУ ПАРОЕЖЕКТОРНОЇ ХОЛОДИЛЬНОЇ МАШИНИ (ПЕХМ)**

#### **3.1 Вибір вихідних даних**

Згідно завданню необхідно забезпечити наступні параметри ПЕХМ:

- холодопродуктивність,  $\dot{Q}_x = 5 \text{ кВт}$ ;
- температура конденсації холодаагенту,  $t_k = 30^\circ\text{C}$ ;
- температура кипіння холодаагенту,  $t_B = (0 \dots -5)^\circ\text{C}$ .

Рівень температури холодаагенту при його пароутворенні в парогенераторі не задається та його необхідно узгоджувати з умовами роботи геліосистеми та термодинамічними властивостями обираємого типу холодаагенту.

Дослідження в Інституті холоду, кріотехнологій та екоенергетики Одеської національної академії харчових технологій (ОНАХТ) [3], показали, що найбільш перспективними для ПЕХМ, які працюють у режимі кондиціювання повітря і утилізують вторинні енергоресурси та сонячну енергію при температурах генерації пари  $t_{\text{ПГ}} = 80 \dots 140^\circ\text{C}$ , є екологічно безпечні робочі речовини R600 (Н – бутан,  $\mu = 58,1 \frac{\text{кг}}{\text{кмоль}}$ ,  $t_{\text{кр}} = 152,0^\circ\text{C}$ ,  $t_{S,H} = -0,5^\circ\text{C}$ ) та R245fa ( $\mu = 134,1 \frac{\text{кг}}{\text{кмоль}}$ ,  $t_{\text{кр}} = 154,1^\circ\text{C}$ ,  $t_{S,H} = 14,9^\circ\text{C}$ ) [3].

Проте, з урахуванням техніко-економічних показників вибір холодаагенту в роботі проведений за попередньою оцінкою коефіцієнта ежекції, який розраховується по моделі, викладеної в [2].

Рівняння для розрахунку коефіцієнта ежекції має вигляд [3]:

Змн.	Арк.	№ докум.	Підпис	Дата	Арк.
					XМ 07.00.00.00 ПЗ 21

$$U = A_U \cdot \frac{0,0857 \cdot \left( \frac{P_{1A}}{P_{1\Pi}} + 1,036 \right) + 1,036}{\frac{P_K}{P_{1\Pi}} - 0,317} - 0,0112 \cdot \frac{P_{1A}}{P_{1\Pi}} - 0,519 \quad (3.1)$$

$$A_U = (0,0088 \cdot t_{1A} - 0,233) \cdot \left( \frac{T_{1A}}{T_{1\Pi}} \right)^{0,5} \quad (3.2)$$

де  $P_{1A}$ ,  $T_{1A}$  – тиск і температура холодаагенту для активного потоку на вході в робоче сопло ежектора;

$P_{1\Pi}$ ,  $T_{1\Pi}$  – тиск і температура холодаагенту для пасивного потоку на вході в приймальну камеру ежектора;

$P_K$  – тиск конденсації холодаагенту.

У якості параметрів для порівняння було прийнято:

- температура пароутворення холодаагенту в парогенераторі,  $t_{\text{ПГ},s} = 80^\circ\text{C}$ ;
- температура пари холодаагенту після перегріву до стану точки 1A,  $t_{1A} = 90^\circ\text{C}$ ;
- температура конденсації,  $t_k = 30^\circ\text{C}$ ;
- температура сухої насыченої пари в стані точки 1Pi,  $t_{1\Pi} = 0^\circ\text{C}$ .

Результати розрахунку коефіцієнта ежекції наведені в таблиці 3.1.

Змн.	Арк.	№ докум.	Лідпіс	Дата	ХМ 07.00.00.00 ПЗ	Арк.
						22

Таблиця 3.1 – Розрахункові значення коефіцієнта ежекції при режимі

80/90-30-0

Параметр Холдоагент	$\frac{T_{1A}}{T_{1\Pi}}$	$A_U$	$P_{1A}$ , бар	$P_{1\Pi}$ , бар	$\frac{P_{1A}}{P_{1\Pi}}$	$P_K$ , бар	$\frac{P_K}{P_{1\Pi}}$	$U$
R134a	1,153	0,6446	26,324	2,928	8,990	7,701	2,630	0,099
R152a	1,153	0,6446	23,585	2,669	8,837	6,915	2,591	0,110
R407c	1,153	0,6446	39,08	4,52	8,646	11,56	2,557	0,114
R290	1,153	0,6446	31,43	4,71	6,673	10,75	2,282	0,145
R600a	1,153	0,6446	13,626	1,578	8,635	4,078	2,584	0,108
R600	1,153	0,6446	10,004	1,032	9,694	2,814	2,727	0,095
R236fa	1,153	0,6446	14,0	1,1	12,727	3,1	2,818	0,122
R245fa	1,153	0,6446	8,0	0,54	14,815	1,8	3,333	0,051

Для даного режиму роботи ПЕХМ з температурами 80/90-30-0 максимум коефіцієнта ежекції спостерігається для пропану (R290). Зважаючи на те, що пропан є пальною речовиною можна розглядати як альтернативу пропану – високотемпературний синтезований холдоагент R236fa.

Рівняння для розрахунку коефіцієнта ежекції 4.1 та 4.1а запропоновані професором Захаровим Ю.В. (Національний університет кораблебудування, місто Миколаїв) достатньо давно, ще у 1979 році, коли перераховані в таблиці синтезовані холдоагенти ще не були отримані, їх властивості не були вивчені.

Дані рівняння узагальнювали дані по трьом холдоагентам R12,R22 та R142b, які на даний момент не застосовуються, бо мають озонопорушуючі властивості через наявність у складі молекул хлору.

Змн.	Арк.	№ докум.	Підпис	Дата	ХМ 07.00.00.00 ПЗ	Арк.
						23

Уточнення розрахункових рівнянь для коефіцієнта ежекції пропонується виконати, використовуючи дані експериментальних досліджень ежекторної ступені каскадної холодильної машини, які представлені в роботі Петренко В.А.[1].

У даній публікації наведено перевірений результат коефіцієнта ежекції для холодаагенту R600(H - бутан) при наступних параметрах:

$$t_{1A} = 100 \text{ } ^\circ\text{C};$$

$$P_{1A} = 14,597 \text{ бар};$$

$$t_K = 36 \text{ } ^\circ\text{C};$$

$$P_K = 3,352 \text{ бар};$$

$$t_{1\Pi} = 14 \text{ } ^\circ\text{C};$$

$$P_{1\Pi} = 1,697 \text{ бар.}$$

Холодопродуктивність складала 14,8 кВт;

Тепловий коефіцієнт  $\xi = 0,5$  (коефіцієнт перетворення СОР<sub>ПЕХМ</sub>);

Коефіцієнт ежекції  $u_{e_{KC}} = 0,68$ .

Використовуючи ці дані для розрахунку по формулам 3.1 та 3.2 були отримані наступні значення параметрів роботи ежектора:

$$\frac{P_{1A}}{P_{1\Pi}} = 8,6016;$$

$$\frac{P_K}{P_{1\Pi}} = 1,9752;$$

$$A_U = 0,7376;$$

$$U_p = 0,3348.$$

Змн.	Арк.	№ докум.	Підпис	Дата

ХМ 07.00.00.00 ПЗ

Арк.

24

Таким чином можна констатувати, що реальні значення коефіцієнта ежекції для бутану у 2,03 рази вище, ніж розрахункові по рівнянням Захарова Ю.В.

Не маючи експериментальних даних по коефіцієнту ежекції для інших холдоагентів у таблиці 3.1 приймаємо для розрахунку коефіцієнт корекції:

$$K_u = \frac{U}{U_p} = 2,0.$$

Подальший розрахунок циклу будемо виконувати для трьох холдоагентів на параметри режиму «80/90-30-0» із наступними значеннями коефіцієнта ежекції:

$$\text{R600}, \quad U = 2 \cdot 0,095 = 0,19;$$

$$\text{R290}, \quad U = 2 \cdot 0,145 = 0,29;$$

$$\text{R236fa}, \quad U = 2 \cdot 0,122 = 0,244.$$

### 3.2. Розрахунок циклу на базі холдоагенту R600

Уточнені значення основних розрахункових параметрів:

- температура пароутворення холдоагенту в парогенераторі,  $t_{\text{ПГ},s} = 80^{\circ}\text{C}$ ;
- температура пари у стані точки 1A активного потоку на вході в робоче сопло,  $t_{1A} = 90^{\circ}\text{C}$ ;
- температура конденсації холдоагенту  $t_k = 30^{\circ}\text{C}$ ;
- температура пари у стані точки 1П пасивного потоку на вході в приймальну камеру ежектора,  $t_{1P} = 0^{\circ}\text{C}$ .

За цими температурами знаходимо тиски, використовуючи програмний комплекс COOL PACK або REFPROP:

Змн.	Арк.	№ докум.	Підпис	Дата	Арк.
					XМ 07.00.00.00 ПЗ 25

$P_{\text{ПГ},S} = P_{1A} = 10,004$  бар;

$P_k = 2,814$  бар;

$P_{1\Pi} = 1,032$  бар.

Тиск у стані точок 2A та 2Pi приймаємо по температурі насыщення:

$t_{2S} = t_B - 5^\circ\text{C} = -5^\circ\text{C}$  ( $t_B = t_{1\Pi}$ );

$P_2 = P_{2A} = P_{2\Pi} = 0,852$  бар.

Визначаємо параметри холдоагенту при розширенні активного потоку

(параметри в стані точки 2A).

Швидкість пари активного потоку на виході із сопла при відсутності втрат (ізоентропний процес закінчення активного потоку):

$$w_{2AS} = \sqrt{2 \cdot 10^3 (h_{1A} - h_{2AS})}$$

У програмному комплексі COOL PACK по RC знаходимо для

$P_{1A} = 10,004$  бар та  $t_{1A} = 90^\circ\text{C}$ :

$$h_{1A} = 716,85 \frac{\text{кДж}}{\text{кг}};$$

$$S_{1A} = 2531,23 \frac{\text{Дж}}{\text{кг} \cdot \text{К}};$$

$$\nu_{1A} = 0,04261 \frac{\text{м}^3}{\text{кг}};$$

$$(a_*)_{1A} = 199,21 \frac{\text{м}}{\text{с}};$$

$$K_{1A} = 0,93099;$$

Змн.	Арк.	№ докум.	Лідпис	Дата

ХМ 07.00.00.00 ПЗ

Арк.

26

$$C_p = 2,257 \frac{\text{кДж}}{\text{кг} \cdot \text{К}};$$

$$C_v = 1,919 \frac{\text{кДж}}{\text{кг} \cdot \text{К}}.$$

Для кінцевого стану:

$$h_{2AS} = 611,94 \frac{\text{кДж}}{\text{кг}};$$

$$t_{2AS} = 17,27^\circ\text{C};$$

$$\nu_{2AS} = 0,47365 \frac{\text{м}^3}{\text{кг}};$$

$$(a_*)_{2AS} = 208,07 \frac{\text{м}}{\text{с}};$$

$$K_{2AS} = 1,0728;$$

$$C_p = 1,7086 \frac{\text{кДж}}{\text{кг} \cdot \text{К}};$$

$$C_v = 1,544 \frac{\text{кДж}}{\text{кг} \cdot \text{К}}.$$

$$w_{2AS} = \sqrt{2 \cdot 10^3 (716,85 - 611,94)} = 458,06 \frac{\text{м}}{\text{с}}$$

Істинна швидкість активного потоку на виході з робочого сопла при прийнятому значенні швидкісного коефіцієнту  $\varphi_1 = 0,95$ :

$$w_{2AS} = 0,95 \cdot w_{2AS} = 435,158 \frac{\text{м}}{\text{с}}$$

Параметри пари активного потоку в кінці політропного процесу розширення (у точці 2A):

$$S_{2A} = S_{1A} + (1 - \varphi_1^2) \cdot \frac{w_{2AS}^2}{2000 \cdot T_{2AS}};$$

$$S_{2A} = 2531,23 + (1 - 0,95^2) \cdot \frac{458,06^2}{2000 \cdot (273 + 17,27)} = 2531,58 \frac{\text{Дж}}{\text{кг} \cdot \text{К}}.$$

Змн.	Арк.	№ докум.	Підпис	Дата	ХМ 07.00.00.00 ПЗ	Арк.
						27

Питому енталпію та інші параметри в точці 2А визначаємо в RC за параметрами:

$$P_{2A} = 0,852 \text{ бар};$$

$$S_{2A} = 2531,58 \frac{\text{Дж}}{\text{кг} \cdot \text{К}};$$

$$h_{2A} = 612,04 \frac{\text{кДж}}{\text{кг}};$$

$$t_{2A} = 17,33^\circ\text{C};$$

$$\nu_{2A} = 0,47375 \frac{\text{м}^3}{\text{кг}};$$

$$(a_*)_{2A} = 208,09 \frac{\text{м}}{\text{с}};$$

$$C_p = 1,7088 \frac{\text{кДж}}{\text{кг} \cdot \text{К}};$$

$$C_v = 1,5443 \frac{\text{кДж}}{\text{кг} \cdot \text{К}};$$

$$K_{2A} = 1,0728.$$

Визначаємо параметри холдоагенту при розширенні пасивного потоку (параметри в стані точки 2П). Особливість визначення: стан в точках 2PS і 2П – насычена пара, тобто всередині області насычення, близько правої прикордонної кривої (малюнок..).

Швидкість пари пасивного потоку при тиску  $P_{2\text{П}} = P_2 = 0,852$  бар в перерізі виходу активного потоку із робочого сопла, рис.3.1.

Змн.	Арк.	№ докум.	Підпис	Дата	ХМ 07.00.00.00 ПЗ	Арк.
						28

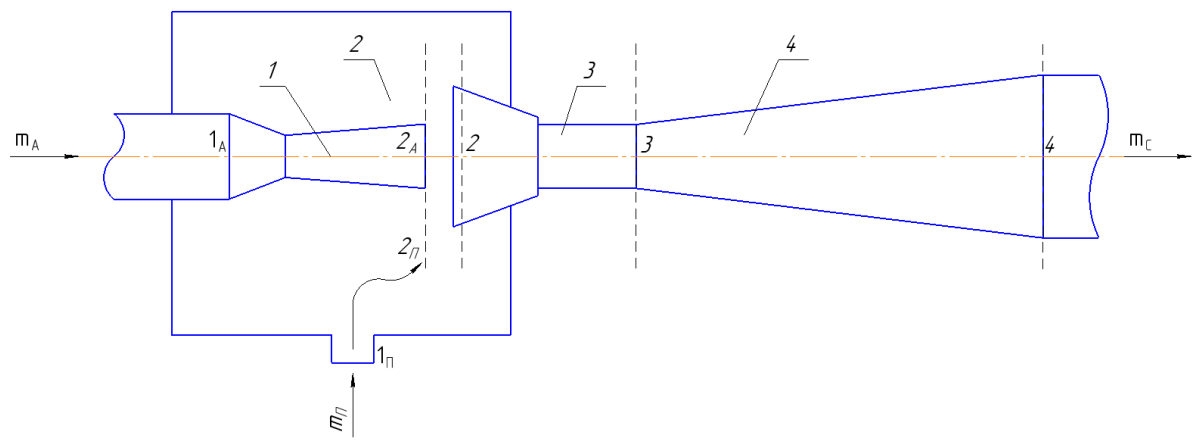


Рисунок 3.1. Розрахункова схема ежектора: 1 - робоче сопло; 2 – приймальна камера; 3 – камера зміщення; 4 – дифузор.

$$w_{2\text{PS}} = \sqrt{2 \cdot 10^3 (h_{1\text{П}} - h_{2\text{PS}})}$$

Для стану в точці 1П при  $P_{1\text{П}} = 1,032$  бар та  $t_{1\text{П}} = 0^\circ\text{C}$  маємо:

$$h_{1\text{П}} = 581,91 \frac{\text{кДж}}{\text{кг}};$$

$$S_{1\text{П}} = 2398,16 \frac{\text{Дж}}{\text{кг} \cdot \text{К}};$$

$$\nu_{1\text{П}} = 0,36214 \frac{\text{м}^3}{\text{кг}};$$

$$(a_*)_{1\text{П}} = 199,76 \frac{\text{м}}{\text{с}};$$

$$K_{1\text{П}} = 1,0677;$$

$$C_p = 1,6584 \frac{\text{кДж}}{\text{кг} \cdot \text{К}};$$

$$C_v = 1,4813 \frac{\text{кДж}}{\text{кг} \cdot \text{К}}.$$

Для кінцевого стану в точці 2ПS при  $S_{2\text{PS}} = S_{1\text{П}}$  та  $P_{2\text{PS}} = P_{2\text{П}} = 0,852$  бар маємо:

$$t_{2\text{PS}} = -4,99^\circ\text{C};$$

Змн.	Арк.	№ докум.	Підпис	Дата

$$v_{2\text{PS}} = 0,43308 \frac{\text{м}^3}{\text{кг}};$$

$$h_{2\text{PS}} = 574,79 \frac{\text{кДж}}{\text{кг}};$$

$$(a_*)_{2\text{PS}} = 198,987 \frac{\text{м}}{\text{с}};$$

$$K_{2\text{PS}} = 1,0731;$$

$$C_p = 1,6304 \frac{\text{кДж}}{\text{кг} \cdot \text{К}};$$

$$C_v = 1,4578 \frac{\text{кДж}}{\text{кг} \cdot \text{К}};$$

$$h'_{2\text{PS}} = h'_{2\text{П}} = 188,24 \frac{\text{кДж}}{\text{кг}};$$

$$h''_{2\text{PS}} = h''_{2\text{П}} = 574,786 \frac{\text{кДж}}{\text{кг}};$$

$$R_{2\text{PS}} = h''_{2\text{PS}} - h'_{2\text{PS}} = 386,546 \frac{\text{кДж}}{\text{кг}}.$$

$$w_{2\text{PS}} = \sqrt{2000 \cdot (581,91 - 574,79)} = 119,331 \frac{\text{м}}{\text{с}}$$

Істинна швидкість пасивного потоку в перерізі виходу активного потоку при прийнятому значенні швидкісного коефіцієнта  $\varphi_1 = 0,95$  маємо:

$$w_{2\text{П}} = 0,95 \cdot w_{2\text{PS}} = 113,365 \frac{\text{м}}{\text{с}}.$$

Ступінь сухості пари в стані точки 2ПС:

$$\chi_{2\text{PS}} = \frac{h_{2\text{PS}} - h'_{2\text{PS}}}{R_{2\text{PS}}} = \frac{574,79 - 188,24}{386,546} = 1,00001 \approx 1,0$$

Пара пасивного потоку практично суха насичена.

Параметри пари пасивного потоку в кінці політропного (реального) процесу розширення (в точці 2П):

Змн.	Арк.	№ докум.	Підпис	Дата	ХМ 07.00.00.00 ПЗ	Арк.
						30

$$S_{2\Pi} = S_{1\Pi} + (1 - \varphi_1^2) \cdot \frac{w_{2\Pi S}^2}{2000 \cdot T_{2\Pi S}};$$

$$S_{2\Pi} = 2398,16 + (1 - 0,95^2) \cdot \frac{119,331^2}{2000 \cdot (273 - 4,99)} = 2398,1626 \frac{\text{Дж}}{\text{кг} \cdot \text{К}}.$$

Питома енталпія та інші параметри в точці 2П визначаємо в RC за

параметрами  $P_{2\Pi} = 0,852 \text{бар}$  та  $S_{2\Pi} = 2398,1626 \frac{\text{Дж}}{\text{кг} \cdot \text{К}}$ :

$$v_{2\Pi} = 0,43308 \frac{\text{м}^3}{\text{с}};$$

$$h_{2\Pi} = 574,79 \frac{\text{кДж}}{\text{кг}};$$

$$t_{2\Pi} = -4,99^\circ\text{C};$$

$$(a_*)_{2\Pi} = 198,9873 \frac{\text{М}}{\text{с}};$$

$$k_{2\Pi} = 1,07311;$$

$$C_p = 1,63042 \frac{\text{кДж}}{\text{кг} \cdot \text{К}};$$

$$C_v = 1,45781 \frac{\text{кДж}}{\text{кг} \cdot \text{К}}.$$

Параметри потоку змішання в точці 2с:

- Питома енталпія:

$$h_{2c} = \frac{h_{2A} + U \cdot h_{2\Pi}}{1 + U};$$

$$h_{2c} = \frac{612,04 + 0,19 \cdot 574,79}{1 + 0,19} = 606,092 \frac{\text{кДж}}{\text{кг}};$$

Змн.	Арк.	№ докум.	Підпис	Дата	Арк.
					31

- Питома ентропія:

$$S_{2c} = \frac{S_{2A} + U \cdot S_{2\Pi}}{1 + U};$$

$$S_{2c} = \frac{2531,58 + 0,19 \cdot 2398,1626}{1 + 0,19} = 2510,278 \frac{\text{Дж}}{\text{кг} \cdot \text{К}}.$$

- Питомий об'єм:

$$v_{2c} = \frac{v_{2A} + U \cdot v_{2\Pi}}{1 + U};$$

$$v_{2c} = \frac{0,47375 + 0,19 \cdot 0,43308}{1 + 0,19} = 0,46725 \frac{\text{м}^3}{\text{кг}}.$$

- Швидкість звуку:

$$(a_*)_{2c} = \frac{(a_*)_{2A} + (a_*)_{2\Pi} \cdot U}{1 + U};$$

$$(a_*)_{2c} = \frac{208,09 + 0,19 \cdot 198,9873}{1,19} = 206,637 \frac{\text{м}^3}{\text{с}}.$$

- Швидкість змішаного потоку:

$$w_{2c} = \frac{w_{2A} + U \cdot w_{2\Pi}}{1 + U};$$

$$w_{2c} = \frac{435,158 + 0,19 \cdot 113,365}{1,19} = 383,779 \frac{\text{м}}{\text{с}}.$$

- Приведена швидкість:

$$\lambda_{2c} = \frac{w_{2c}}{(a_*)_{2c}};$$

									Арк.
Змн.	Арк.	№ докум.	Лідпис	Дата					32

ХМ 07.00.00.00 ПЗ

$$\lambda_{2c} = \frac{383,779}{206,637} = 1,857.$$

- Тиск:

$$P_{2c} = \frac{P_{2A} + U \cdot P_{2\Pi}}{1 + U} = P_{2A} = P_{2\Pi}.$$

Наступний крок розрахунку циклу полягає у визначенні параметрів потоку змішання в стані точки 4, минаючи проміжний стан 3, яке характеризує вхід в дифузор.

Пропонується процес 2-4 розглядати не вrozдріб, як у методиці Захарова Ю. В., за якою спочатку визначають перетворення кінетичної енергії в потенційну в камері змішання, а потім, знаючи швидкість  $w_3$  визначається приріст ентальпії в дифузорі.

Пропонується величину ентальпії в точці 4 визначити через використання ККД процесу підвищення тиску у всьому тракті змішаного потоку,  $\eta_{cm}$ .

Таким чином можна записати:

$$h_4 = h_{2c} + \frac{h_{4s} - h_{2c}}{\eta_{cm}};$$

Що стосується параметра  $h_{4s}$ , то його можна визначити в координатах:

$$P_{4s} = P_k = 2,814 \text{ бар};$$

$$S_{4s} = S_2 = 2510,278 \frac{\text{Дж}}{\text{кг} \cdot \text{К}}.$$

По РС маємо:

$$h_{4s} = 655,19 \frac{\text{кДж}}{\text{кг}};$$

Змн.	Арк.	№ докум.	Підпис	Дата	ХМ 07.00.00.00 ПЗ	Арк.
33						

$$t_{4s} = 46,28^{\circ}\text{C};$$

$$\nu_{4s} = 0,15084 \frac{\text{м}^3}{\text{кг}};$$

$$(a_*)_{4s} = 209,47 \frac{\text{м}}{\text{с}};$$

$$k_{4s} = 1,0337;$$

$$C_p = 1,8877 \frac{\text{кДж}}{\text{кг} \cdot \text{К}};$$

$$C_v = 1,68655 \frac{\text{кДж}}{\text{кг} \cdot \text{К}}.$$

Величина  $\eta_{\text{см}}$  була визначена на основі розрахунку параметрів циклу з використанням експериментальних даних по ежекції бутану в роботі [1]. Згідно цього розрахунку  $\eta_{\text{см}} = 0,56$ .

Таким чином отримаємо:

$$h_4 = 606,092 + \frac{655,19 - 606,092}{0,56} = 693,76 \frac{\text{кДж}}{\text{кг}}.$$

Знаючи величину  $h_4$  можна виконати перевірку прийнятого значення коефіцієнта ежекції,  $U = 0,19$ .

З енергетичного балансу ежектора по вхідним і вихідним умовам потоків випливає:

$$U = \frac{h_{1A} - h_4}{h_4 - h_{1\Pi}};$$

$$U = \frac{716,85 - 693,76}{693,76 - 581,91} = 0,2.$$

З урахуванням похибки визначення  $\eta_{\text{см}}$  можна прийняти розрахунок циклу для  $U = 0,19$  цілком правильним.

Змн.	Арк.	№ докум.	Підпис	Дата	Арк.
					34

Для отриманого значення  $h_4 = 693,76 \frac{\text{кДж}}{\text{кг}}$  та тиску в точці 4,

$P_4 = P_k = 2,814$  бар визначаємо по РС інші параметри змішаного потоку в точці 4:

$$t_4 = 66,39^\circ\text{C};$$

$$v_4 = 0,16277;$$

$$S_4 = 2627,36 \frac{\text{Дж}}{\text{кг} \cdot \text{К}};$$

$$(a_*)_4 = 218,18 \frac{\text{М}}{\text{с}};$$

$$k_4 = 1,0393;$$

$$C_p = 1,95029 \frac{\text{кДж}}{\text{кг} \cdot \text{К}};$$

$$C_v = 1,7626 \frac{\text{кДж}}{\text{кг} \cdot \text{К}}.$$

Згідно [5] камера змішання повинна забезпечити зниження швидкості змішаного потоку до значення приведеної швидкості в стані точки 3 рівної одиниці, тобто профілювання камери змішання забезпечує  $\lambda_3 = 1$ .

Якщо прийняти середнє значення швидкості звуку в процесі 2-4:

$$(a_*)_{2-4} = 0,5 \cdot [(a_*)_2 + (a_*)_4];$$

$$(a_*)_{2-4} = 0,5 \cdot [206,637 + 218,18] = 212,4 \frac{\text{М}}{\text{с}}.$$

При  $\lambda_3 = 1$  швидкість змішаного потоку в точці 3 приймається

$$w_3 = 212,4 \frac{\text{М}}{\text{с}}.$$

Приріст питомої ентальпії в процесі 3-4 в дифузорі можна розрахувати за рівнянням:

$$\Delta h_d = 0,5 \cdot (w_3^2 - w_4^2) \cdot 10^{-3}$$

Змн.	Арк.	№ докум.	Підпис	Дата	Арк.
					35

ХМ 07.00.00.00 ПЗ

$$\Delta h_d = 0,5 \cdot (212,4^2 - 20^2) \cdot 10^{-3} = 22,357 \frac{\text{кДж}}{\text{кг}}$$

Питома енталпія в стані точки 3:

$$h_3 = h_4 - \Delta h_d;$$

$$h_3 = 693,76 - 22,357 = 671,4 \frac{\text{кДж}}{\text{кг}}.$$

Для визначення положення точки 3 можна використовувати координату перетину ізоентальпи  $h_3 = \text{const}$  з лінією, яка з'єднує точки 2 та 4, для яких положення вже відомо.

Параметри вузлових точок для ежектора зводимо в таблицю 4.2.

Змн.	Арк.	№ докум.	Лідпис	Дата	ХМ 07.00.00.00 ПЗ	Арк.
						36

Таблиця 3.2 – Параметри холодоагенту R600 для ежектора

Точки Параметр	1A	AS	2A	1П	2ПS	2П	2C	3	4S	4
P, бар	10,0	0,852	0,852	1,032	0,852	0,852	0,852		2,814	2,814
t, °C	90	17,27	17,33	0	-4,99	-4,99			46,28	66,39
h, $\frac{\text{кДж}}{\text{кг}}$	716,8 5	611,9 4	612,0 4	581,9 1	574,7 9	574,7 9	606,0 92	671,4 9	655,1 9	693,76
S, $\frac{\text{Дж}}{\text{кг} \cdot \text{К}}$	2531, 23	2531, 23	2531, 28	2398, 16	2398, 16	2398, 1626	2510, 278		2510, 278	2627,36
v, $\frac{\text{м}^3}{\text{кг}}$	0,042 61	0,473 65	0,473 75	0,362 14	0,433 08	0,433 08	0,467 25		0,150 84	0,16277
$a_*$ , $\frac{\text{м}}{\text{с}}$	199,2 1	208,0 7	208,0 9	199,7 6	198,9 87	198,9 873	206,6 37		209, 47	218,18
k	0,930 99	1,072 8	1,072 8	1,067 7	1,073 1	1,073 11			1,033 7	1,0393
w	0 06	458, 158	435, 0	0 331	119, 365	113, 779	383, 212,4			20

Параметри стану холодоагенту в точці 5 в координатах:

$$P_5 = P_k = 2,814 \text{ бар};$$

$$t_5 = 30^\circ\text{C};$$

$$h_5 = 271,51 \frac{\text{кДж}}{\text{кг}};$$

$$S_5 = 1,2473 \frac{\text{Дж}}{\text{кг} \cdot \text{К}};$$

$$v_5 = 1,7629 \cdot 10^{-3} \frac{\text{м}^3}{\text{кг}}.$$

Змн.	Арк.	№ докум.	Підпис	Дата	ХМ 07.00.00.00 ПЗ	Арк.
						37

Питома енталпія в точці 6 на виході з насосу розраховується за допомогою рівняння:

$$h_6 = h_5 + l_{H,i} \frac{\text{кДж}}{\text{кг}},$$

де  $l_{H,i}$  – питома робота (індикаторна) насоса:

$$l_{H,i} = \frac{(P_6 - P_5) \cdot v_5}{\eta_{H,i}}, \frac{\text{кДж}}{\text{кг}};$$

У даному випадку:

$$P_6 = P_{\text{ПГ}} = 10,004 \text{ бар};$$

ККД насосу:  $\eta_{H,i} = 0,75$ :

$$h_6 = 271,51 + \frac{(10,004 - 2,814) \cdot 10^2 \cdot 0,001763}{0,75} = 273,2 \frac{\text{кДж}}{\text{кг}}.$$

Інші параметри в стані точки 6:

$$S_6 = 1252,8 \frac{\text{Дж}}{\text{кг} \cdot \text{К}};$$

$$v_6 = 1,76505 \cdot 10^{-3} \frac{\text{м}^3}{\text{кг}};$$

$$t_6 = 30,7^\circ\text{C}.$$

Стан в точці 7 характеризується параметрами:

$$h_7 = h_5 = 271,51 \frac{\text{кДж}}{\text{кг}};$$

$$P_7 = P_{\text{В}} = 1,032 \text{ бар};$$

$$t_7 = t_{\text{В}} = 0^\circ\text{C}.$$

Точка 7 знаходитьться в області насыченої пари, тому необхідно обчислити ступінь сухості  $\chi_7$ . З таблиць насычення маємо при  $P = 1,032$  бар:

Змн.	Арк.	№ докум.	Підпис	Дата	ХМ 07.00.00.00 ПЗ	Арк.
						38

$$h' = 200 \frac{\text{кДж}}{\text{кг}};$$

$$h'' = 581,91 \frac{\text{кДж}}{\text{кг}};$$

$$S' = 1,0 \frac{\text{кДж}}{\text{кг} \cdot \text{К}};$$

$$S'' = 2,3982 \frac{\text{кДж}}{\text{кг} \cdot \text{К}};$$

$$\nu' = 1,6783 \cdot 10^{-3} \frac{\text{м}^3}{\text{кг}};$$

$$\nu'' = 0,36212 \frac{\text{м}^3}{\text{кг}};$$

$$\chi_7 = \frac{h_7 - h'}{h'' - h'} = \frac{271,51 - 200}{581,91 - 200} = 0,1872;$$

$$S_7 = S' + \chi_7 \cdot (S'' - S') = 1 + 0,1872 \cdot (2,3982 - 1) = 1,2618 \frac{\text{кДж}}{\text{кг} \cdot \text{К}};$$

$$\begin{aligned} \nu_7 &= \nu' + \chi_7 \cdot (\nu'' - \nu') = 1,6783 \cdot 10^{-3} + 0,1872 \cdot (0,36212 - 0,0016783) = \\ &= 0,069168 \frac{\text{м}^3}{\text{кг}}. \end{aligned}$$

### 3.3. Розрахунок питомих та повних енергетичних навантажень

Питоме теплове навантаження на випарник:

$$q_B = h_{1\Pi} - h_7;$$

$$q_B = 581,91 - 271,51 = 310,4 \frac{\text{кДж}}{\text{кг}}.$$

Питоме теплове навантаження на конденсатор:

$$q_{\text{КД}} = h_4 - h_5;$$

Змн.	Арк.	№ докум.	Лідпіс	Дата	ХМ 07.00.00.00 ПЗ	Арк.
39						

$$q_{\text{КД}} = 693,76 - 271,51 = 422,25 \frac{\text{кДж}}{\text{кг}}.$$

Питоме теплове навантаження на парогенератор:

$$q_{\text{ПГ}} = h_{1A} - h_6;$$

$$q_{\text{ПГ}} = 716,85 - 273,2 = 443,65 \frac{\text{кДж}}{\text{кг}}.$$

Питома робота насосу для холодаагенту:

$$l_{H,i} = \frac{(P_6 - P_5) \cdot v_5}{\eta_{H,i}};$$

$$l_{H,i} = \frac{(10,004 - 2,814) \cdot 10^2 \cdot 0,001763}{0,75} = 1,69 \frac{\text{кДж}}{\text{кг}}.$$

Для переходу до повних навантажень необхідно визначити масові витрати.

Масова витрата холодаагенту через випарник (масова витрата пасивного потоку):

$$\dot{m}_{\Pi} = \frac{Q_X}{q_B};$$

$$\dot{m}_{\Pi} = \frac{5}{310,4} = 0,016108 \frac{\text{кг}}{\text{с}}.$$

Масова витрата холодаагенту через парогенератор (масова витрата активного потоку):

$$\dot{m}_A = \frac{\dot{m}_{\Pi}}{U};$$

$$\dot{m}_A = \frac{0,016108}{0,19} = 0,08478 \frac{\text{кг}}{\text{с}}.$$

Масова витрата холодаагенту через конденсатор (масова витрата змішаного потоку):

Змн.	Арк.	№ докум.	Підпис	Дата	ХМ 07.00.00.00 ПЗ	Арк.
						40

$$\dot{m}_C = \dot{m}_{\Pi} + \dot{m}_A;$$

$$\dot{m}_C = 0,08478 + 0,016108 = 0,1009 \frac{\text{кг}}{\text{с}}.$$

Теплове навантаження на парогенератор:

$$\dot{Q}_{\Pi\Gamma} = \dot{m}_A \cdot q_{\Pi\Gamma};$$

$$\dot{Q}_{\Pi\Gamma} = 0,08478 \cdot 443,65 = 37,612 \text{ кВт.}$$

Теплове навантаження на конденсатор:

$$\dot{Q}_{KD} = \dot{m}_C \cdot q_{KD};$$

$$\dot{Q}_{KD} = 0,1009 \cdot 422,25 = 42,6 \text{ кВт.}$$

Перевірка розрахунку:

$$\dot{Q}_{KD} = \dot{Q}_X + \dot{Q}_{\Pi\Gamma}$$

$$\dot{Q}_{KD} = 5 + 37,612 = 42,612 \text{ кВт}$$

Індикаторна потужність насосу для холодаагенту:

$$N_{H,i} = \dot{m}_A \cdot l_{H,i};$$

$$N_{H,i} = 0,08478 \cdot 1,69 = 0,143 \text{ кВт.}$$

Ефективна потужність насосу для холодаагенту:

$$(N_{H,e})_{XA} = \frac{N_{H,i}}{\eta_{Mex}};$$

$$(N_{H,e})_{XA} = \frac{0,143}{0,98} = 0,146 \text{ кВт.}$$

Змн.	Арк.	№ докум.	Підпис	Дата

ХМ 07.00.00.00 ПЗ

Арк.

41

## **4. РОЗРАХУНОК СИСТЕМИ ТЕПЛОПОСТАЧАННЯ ДЛЯ ПАРОГЕНЕРАТОРА ХОЛОДИЛЬНОЇ МАШИНИ**

### **4.1 Загальні положення**

Дана система являє собою сукупність двох взаємопов'язаних контурів:

- контура перетворення сонячної енергії в теплоту;
- контура переносу теплоти, отриманої в сонячному колекторі до парогенератора холодильної машини. У цьому контурі за рахунок спалювання палива може бути забезпечений додаткове підведення теплоти в газовому бойлері.

Кінцевою метою даного розрахунку є визначення потрібної поверхні сонячного колектору для забезпечення розрахункового теплового навантаження на парогенератор холодильної машини.

#### **Основні параметри для розрахунку**

1. Холодопродуктивність за умовою,  $\dot{Q}_X = 5 \text{ кВт}$ , характеризує сумарні теплоприпливи в найбільш теплий час року, тобто для літнього періоду, коли спостерігається максимальна інтенсивність сонячної радіації. Для інших періодів холодопродуктивність нижче. Таким чином, у розрахунку можна використовувати параметри геліосистеми для літнього періоду.

2. Приймаємо для розрахунку тривалість роботи холодильної машини на добу, яка рівна 22 годинам, тобто  $\tau_{ХМ} = 22 \text{ години}$ .

3. Кількість теплоти, яке передається у випарнику холодаагенту на добу складає:

$$\begin{aligned} Q_B &= 0,9 \cdot \dot{Q}_X \cdot \tau_{ХМ} = 0,9 \cdot 5 \cdot 22 = 99 \text{ кВт} \cdot \text{год} = 99 \cdot 3600 = 356400 \text{ кДж} \\ &= 356,4 \text{ МДж}. \end{aligned}$$

4. Кількість теплоти, яке передається у парогенераторі холодаагенту на добу складає:

Змн.	Арк.	№ докум.	Підпис	Дата	Арк.
					XМ 07.00.00.00 ПЗ

$$Q_{\text{ПГ}} = \dot{Q}_{\text{B}} \cdot \frac{\dot{Q}_{\text{ПГ}}}{\dot{Q}_{\text{X}}} = 99 \cdot \frac{37,612}{5} = 744,799 \text{ кВт} \cdot \text{год} = 2681 \text{ МДж.}$$

5. З урахуванням двохвідсоткової втрати теплоти при її передачі від геліосистеми вироблення теплоти в сонячному колекторі:

$$Q_{\text{СК},max} = 1,02 \cdot Q_{\text{ПГ}} = 1,02 \cdot 744,7 = 75,96 \text{ кВт} \cdot \text{год} = 273,46 \text{ МДж.}$$

Отримане теплове навантаження є максимальною для геліосистеми.

Якщо в даній системі теплопостачання передбачається додаткова генерація теплоти за рахунок газового бойлеру, тоді навантаження на сонячний колектор враховує цю обставину:

$$Q_{\text{СК}} = \chi \cdot Q_{\text{СК},max},$$

де  $\chi$  - частка теплогенерації сонячного колектору в загальній кількості теплоти, які підводиться в парогенераторі.

Значення величини цієї частки залежить від температурного перерозподілу теплового потоку між сонячним колектором та парогенератором. Оптимальне значення частки  $\chi$  може бути визначено на базі термоекономічних розрахунків.

6. Згідно [1] кількість енергії  $E_{\text{СК}}$ ,  $\frac{\text{кВт} \cdot \text{год}}{\text{день}}$ , що можна отримати колекторами площею  $F_{\text{СК}}$  за день:

$$E_{\text{СК}} = e \cdot E_{\text{М}} \cdot K_0 \cdot K_3 \cdot \eta_{\text{СК}} \cdot F_{\text{СК}}, \frac{\text{кВт} \cdot \text{год}}{\text{день}},$$

де  $\eta_{\text{СК}} = 0,5 \dots 0,7$ , ККД сонячного колектору;

$e$  - коефіцієнт, що враховує хмарність,  $e = 0,7 \dots 0,8$ ;

$K_0$ - коефіцієнт орієнтації (при південному напрямку він дорівнює 1);

$K_3$ - коефіцієнт затінення,  $K = 1$ ;

Змн.	Арк.	№ докум.	Підпис	Дата	Арк.
					XМ 07.00.00.00 ПЗ 43

$E_M$ - максимальна сонячна енергія без хмар, для кутів нахилу до горизонту  $S = 30^\circ$  та  $S = 90^\circ$ .

Для розрахунку приймаємо:

$$S = 60^\circ \text{ та з таблиці 2.10 [1] величина } E_M = 5,953 \frac{\text{кВт}\cdot\text{год}}{\text{м}^2\cdot\text{день}};$$

$$S = 30^\circ, E_M = 7,603 \frac{\text{кВт}\cdot\text{год}}{\text{м}^2\cdot\text{день}};$$

$$S = 90^\circ, E_M = 3,328 \frac{\text{кВт}\cdot\text{год}}{\text{м}^2\cdot\text{день}}.$$

Для даного розрахунку  $E_{CK} = Q_{CK}$ , і при роботі без газового бойлеру,  $\chi = 1$  та  $S = 30^\circ$ .

$$F_{max} = \frac{Q_{CK,max}}{e \cdot E_M \cdot K_0 \cdot K_3 \cdot \eta_{CK}}, \text{ м}^2;$$

$$F_{max} = \frac{75,96}{0,75 \cdot 7,603 \cdot 1 \cdot 1 \cdot 0,65} = \frac{75,96}{3,706} = 20,5 \text{ м}^2.$$

При розміщенні сонячних колекторів на вертикальних поверхнях, тобто для  $E_M = 3,328 \frac{\text{кВт}\cdot\text{год}}{\text{м}^2\cdot\text{день}}$ :

$$F_{max} = \frac{75,96}{0,75 \cdot 3,328 \cdot 1 \cdot 1 \cdot 0,65} = 46,8 \text{ м}^2$$

При використанні газового бойлеру:

$$F_{CK} = \chi \cdot F_{max}.$$

Частка теплогенерації сонячного колектору може бути визначена на базі наступних виразів:

$$\chi = \frac{Q_{CK}}{Q_{ПГ}} = \frac{Q_{ПГ} - Q_{ГБ}}{Q_{ПГ}} = 1 - \frac{Q_{ГБ}}{Q_{ПГ}},$$

де  $Q_{ГБ}$  - теплопродуктивність газового бойлеру, кВт.

Змн.	Арк.	№ докум.	Підпис	Дата	Арк.
					XМ 07.00.00.00 ПЗ 44

З урахуванням маркування точок стану води, яка циркулює через газовий бойлер і парогенератор холодильної машини:

$$\chi = 1 - \frac{G_T \cdot C_T (t_{3T} - t_{2T})}{G_T \cdot C_T (t_{3T} - t_{4T})} \approx 1 - \frac{t_{3T} - t_{2T}}{t_{3T} - t_{4T}}$$

Більше точне значення:

$$\chi = 1 - \frac{h_{3T} - h_{2T}}{h_{3T} - h_{4T}}.$$

#### 4.2 Розрахунок режимних параметрів системи без додаткового нагріву в газовому бойлері

Розрахунковий варіант зміни температури середовища в парогенераторі представлений на рисунку 4.1.

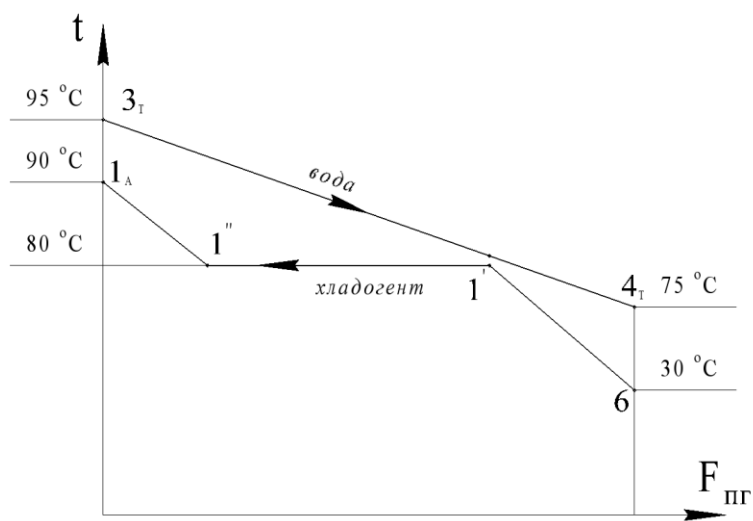


Рисунок 4.1. Зміна температури холодаагенту (точки 6 – 1' – 1'' – 1A) і температури теплоносія (точки 3<sub>T</sub>, 4<sub>T</sub>) уздовж поверхні теплообміну для парогенератора.

З урахуванням недорекуперації маємо:

Змн.	Арк.	№ докум.	Підпис	Дата	Арк.
					XМ 07.00.00.00 ПЗ

$$t_{3T} = t_{1A} + 5^{\circ}\text{C};$$

$$t_{3T} = 90 + 5 = 95^{\circ}\text{C}.$$

Для стану теплоносія на виході з парогенератора приймаємо:

$$t_{4T} = t_{1'} = 75^{\circ}\text{C}.$$

Витрата теплоносія (води) через парогенератор:

$$G_T = \frac{\dot{Q}_{\text{ПГ}}}{h_{3T} - h_{4T}}, \text{ кг/с}$$

$$G_T = \frac{37,612}{398,74 - 314,88} = \frac{37,612}{83,86} = 0,4485 \text{ кг/с} = 1,614 \text{ м}^3/\text{год},$$

де енталпії  $h_{3T}$  та  $h_{4T}$  для води взяти з програми «COOLPACK».

Об'ємна витрата води через парогенератор і бак-теплоакумулятор:

$$\dot{V}_T = \frac{G_T}{\rho_T} = \frac{0,4485}{966,9} = 0,000464 \frac{\text{м}^3}{\text{с}} = 1,67 \frac{\text{м}^3}{\text{год}}.$$

Перевірка наявності різниці температур між холодаагентом (точка 1') і теплоносієм (точка 4\*).

Тепловий потік в парогенераторі, який отримуємо від нагрітої води розподіляється наступним чином:

– у процесі 6-1' (нагрів холодаагенту від  $t_6 = 30^{\circ}\text{C}$  до температури насыщення  $t_{1'} = 80^{\circ}\text{C}$ ):

$$\dot{Q}_{6-1'} = \dot{m}_A(h_{1'} - h_6) = 0,08478 \cdot (399,83 - 273,2) = 10,7357 \text{ кВт};$$

– у процесі 1' – 1'' (кипіння холодаагенту  $t_S = 80^{\circ}\text{C}$ ):

$$\dot{Q}_{1'-1''} = \dot{m}_A(h_{1''} - h_{1'}) = 0,08478 \cdot (694,23 - 399,83) = 24,959 \text{ кВт};$$

– у процесі 1'' – 1A (перегрів пари холодаагенту від  $80^{\circ}\text{C}$  до  $90^{\circ}\text{C}$ ):

$$\dot{Q}_{1''-1A} = \dot{m}_A(h_{1A} - h_{1''}) = 0,08478 \cdot (716,85 - 694,23) = 1,9177 \text{ кВт}.$$

Змн.	Арк.	№ докум.	Підпис	Дата	ХМ 07.00.00.00 ПЗ	Арк.
46						

Тепловий потік , який підводиться до холодаагенту в процесі 1' – 1A (кипіння і перегрів пари):

$$\dot{Q}_{1'-1A} = \dot{Q}_{1'-1''} + \dot{Q}_{1''-1A} = 24,959 + 1,9177 = 26,8697 \text{ кВт.}$$

Питома ентальпія води в стані точки 4\*:

$$h_{4^*} = h_{3T} - \frac{\dot{Q}_{1'-1A}}{G_T}, \frac{\text{кДж}}{\text{кг}};$$

$$h_{4^*} = 398,74 - \frac{26,8697}{0,4485} = 338,83 \frac{\text{кДж}}{\text{кг}}.$$

Різниця температур між холодаагентом і водою в перетині 4\* – 1' можливе, тому що

$$h_{4^*} > h_{(t_s=80^\circ\text{C})};$$

$$338,83 \frac{\text{кДж}}{\text{кг}} > 335,86 \frac{\text{кДж}}{\text{кг}};$$

$$t_{4^*} = 80,7^\circ\text{C}.$$

Зміна температур середовищ у баку-теплоакумуляторі представлена на рисунку 4.2.

Змн.	Арк.	№ докум.	Підпис	Дата	ХМ 07.00.00.00 ПЗ	Арк.
						47

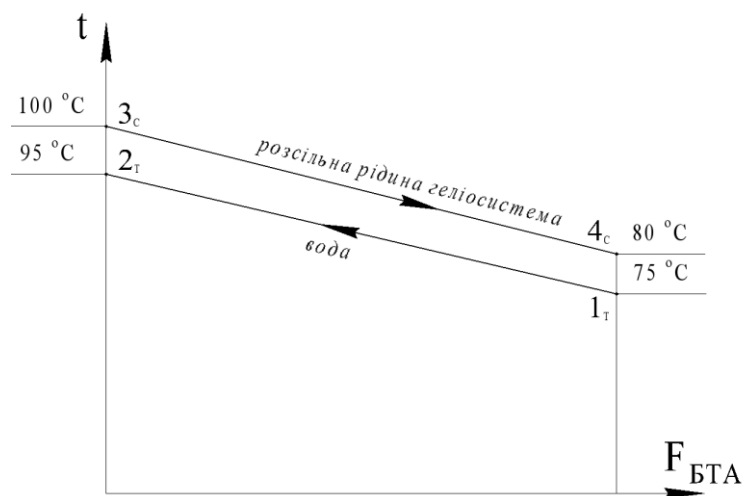


Рисунок 4.2. Зміна температур середовищ у баку-теплоакумуляторі вздовж поверхні теплообміна

З урахуванням недорекуперації в баку-теплоакумуляторі розсільна рідина геліосистеми змінює власну температуру від 100°C до 80°C. Отже, у сонячному колекторі розсільна рідина повинна бути нагріта від 80°C до 100°C. З урахуванням подібної зміни температури розсільної рідини визначимо масову витрату розсільної рідини в геліосистемі:

$$G_c = \frac{1,02 \cdot Q_{\text{ПГ}}^{\dot{}}}{C_c(t_{2c} - t_{1c})},$$

де  $C_c$  - теплоємність розсільної рідини для середньої температури

$$t_c = 0,5(t_{2c} + t_{1c}),$$

при цьому  $t_{1c} = t_{3c} = 80^\circ\text{C}$ , тобто  $t_c = 90^\circ\text{C}$ .

Для 35%-ого розчину етиленгліколю при  $t = 90^\circ\text{C}$  з програми «COOLPACK» маємо:

$$C_c = 3,845 \frac{\text{кДж}}{\text{кг} \cdot \text{К}};$$

Змн.	Арк.	№ докум.	Підпис	Дата	ХМ 07.00.00.00 ПЗ	Арк.
48						

$$\rho_c = 1007,01 \frac{\text{кг}}{\text{м}^3};$$

$$G_c = \frac{1,02 \cdot 37,612}{3,845(100 - 80)} = 0,4989 \frac{\text{кг}}{\text{с}} = 1,796 \frac{\text{т}}{\text{год}}.$$

Об'ємна витрата розсільної рідини в геліосистемі:

$$\dot{V}_c = \frac{G_c}{\rho_c} = \frac{0,4989}{1007,01} = 0,000495 \frac{\text{м}^3}{\text{с}} = 1,783 \frac{\text{м}^3}{\text{год}}.$$

Ефективна потужність насосу для води в проміжному контурі:

$$N_{HT} = \frac{\Delta P_T \cdot \dot{V}_T}{\eta_H}, \text{ кВт},$$

де  $\Delta P_T$  - гідродинамічний опір у проміжному контурі системи, для розрахунку прийнято попереднє значення 200 кПа.

$$N_{HT} = \frac{200 \cdot 0,000464}{0,75} = 0,124 \text{ кВт}$$

Ефективна потужність насосу для розсільної рідини в контурі геліосистеми:

$$N_{HC} = \frac{\Delta P_C \cdot \dot{V}_C}{\eta_H}, \text{ кВт},$$

$$N_{HC} = \frac{200 \cdot 0,000495}{0,75} = 0,132 \text{ кВт}$$

Змн.	Арк.	№ докум.	Підпис	Дата	ХМ 07.00.00.00 ПЗ	Арк.
49						

### 4.3 Розрахунок режимних параметрів системи с бівалентним нагрівом теплоносія

У даному випадку розглядається схема переносу теплоти від геліосистеми з увімкненням додаткового нагріву теплоносія в газовому бойлері.

У таблиці 4.1 представлені розрахункові значення частки  $\chi$  від додаткового підігріву води після сонячного колектору в газовому бойлері.

Таблиця 4.1. Розрахункові значення  $\chi = f(t_{2T})$

Парогенератор			Газовий бойлер				Сонячний колектор			
$t_{3T}$	$t_{4T}$	$\dot{Q}_{\text{ПГ}}$	$t_{2T}$	$\Delta t_{\text{ГБ}}$	$\Delta h_{\text{ГБ}}$	$\dot{Q}_{\text{ГБ}}$	$t_{1C}$	$t_{2C}$	$\chi$	$F_{\text{СК}}$
°C	°C	кВт	°C	°C	$\frac{\text{кДж}}{\text{кг}}$	кВт	°C	°C		$\text{м}^2$
5	75	37,612				0	80	100	1,0	20,5
			90	5	20,96	9,4	80	95	0,75	15,,8
			85	10	41,92	18,8	80	90	0,5	10,25
			80	15	62,88	28,2	80	85	0,25	5,13

У даній таблиці теплове навантаження на газовий бойлер визначалося з рівняння:

$$\dot{Q}_{\text{ГБ}} = \dot{m}_T \cdot \Delta h_{\text{ГБ}} = \dot{m}_T \cdot (h_{3T} - h_{2T}), \text{ кВт.}$$

Для представлених в таблиці 5.1 варіантів включення додаткового нагріву різного рівня потрібен перерахунок теплових навантажень і параметрів насосів для контуру геліосистеми та проміжного контуру.

Змн.	Арк.	№ докум.	Підпис	Дата	ХМ 07.00.00.00 ПЗ	Арк.
						50

Масова витрата теплоносія в проміжному контурі не змінюється через сталість теплового навантаження на парогенератор, але змінюється гідравлічний опір за рахунок втрат в газовому бойлері. Для розрахунку можна прийняти попереднє значення  $\Delta P_T$ , збільшене на 20%, тобто  $1,2 \cdot \Delta P_T$ . Звідси ефективна потужність насосу для води в проміжному контурі складає:

$$N_{HT} = \frac{1,2 \cdot \Delta P_T \cdot \dot{V}_T}{\eta_H} = \frac{1,2 \cdot 200 \cdot 0,000464}{0,75} = 0,149 \text{ кВт.}$$

Теплове навантаження на бак-теплоакумулятор змінюється в залежності від температури води на виході з цього апарату. З урахуванням втрат в навколошнє середовище (сумарна величина 2%):

$$\dot{Q}_{БТА} = 1,0095 \cdot (\dot{Q}_{ПГ} - \dot{Q}_{ГБ}), \text{ кВт.}$$

Для сонячного колектора:

$$\dot{Q}_{СК} = 1,0095 \cdot \dot{Q}_{БТА}.$$

Для контуру геліосистеми має місце зміна масової витрати розсільної рідини, і відповідно, потужності насосу:

$$G_C = \frac{\dot{Q}_{СК}}{C_C \cdot (t_{2C} - t_{1C})}, \frac{\text{кг}}{\text{с}}.$$

$$N_{HC} = \frac{\Delta P_C \cdot \dot{V}_C}{\eta_H}, \text{ кВт.}$$

Результати розрахунку теплових і механічних навантажень для варіантів роботи з бівалентним нагрівом теплоносія зведені до таблиці 41.2.

Змн.	Арк.	№ докум.	Підпис	Дата	Арк.
					XМ 07.00.00.00 ПЗ

Таблиця 4.2. Параметри бівалентного режиму нагріву теплоносія

№	$t_{2T}$	$\dot{Q}_{\Gamma\beta}$	$\dot{Q}_{\text{БТА}}$	$G_T$	$N_{HT}$	$\dot{Q}_{\text{СК}}$	$G_C$	$N_{HC}$	$\dot{Q}_{\text{ПГ}}$
	°C	кВт	кВт	кг/c	кВт	кВт	кг/c	кВт	кВт
1	95	0	37,969	0,4485	0,149	38,364	0,4989	0,132	37,612
2	90	9,4	28,48	0,4485	0,149	28,75	0,5087	0,1336	37,612
3	85	18,8	18,99	0,4485	0,149	19,188	0,5103	0,1338	37,612
4	80	28,2	9,501	0,4485	0,149	9,591	0,5112	0,1340	37,612

При розрахунку  $G_C$  і  $N_{HC}$  для варіанта 2:

$$t_{cp} = 87,5 \text{ °C};$$

$$C_C = 3,768 \frac{\text{кДж}}{\text{кг}\cdot\text{К}},$$

$$\rho_C = 1015,15 \frac{\text{кг}}{\text{м}^3}.$$

Для варіанта 3:

$$t_{cp} = 85 \text{ °C};$$

$$C_C = 3,76 \frac{\text{кДж}}{\text{кг}\cdot\text{К}},$$

$$\rho_C = 1016,93 \frac{\text{кг}}{\text{м}^3}.$$

Для варіанта 4:

$$t_{cp} = 82,5 \text{ °C};$$

$$C_C = 3,752 \frac{\text{кДж}}{\text{кг}\cdot\text{К}},$$

$$\rho_C = 1018,18 \frac{\text{кг}}{\text{м}^3}.$$

Змн.	Арк.	№ докум.	Лідпіс	Дата	ХМ 07.00.00.00 ПЗ	Арк.
						52

## 5. ПОКАЗНИКИ ЕНЕРГОЕФЕКТИВНОСТІ ХОЛОДИЛЬНОЇ УСТАНОВКИ

Енергоефективність розглянутої холодильної установки в загальному вигляді являє собою відношення холодопродуктивності до сумарної величини енергетичних потоків, які забезпечують термотрансформацію в межах заданих температурних рівнів.

Для даної холодильної установки, яка відноситься до типу тепловикористовуючих холодильних систем, показниками енергоефективності є наступні величини:

1) Коефіцієнт перетворення пароежекторного циклу:

$$COP_{\text{Ц}} = \frac{\dot{Q}_X}{\dot{Q}_{\text{ПГ}} + N_{\text{НХ}}} \quad (6.1)$$

2) Коефіцієнт перетворення холодильної установки:

$$COP_{\text{ХУ}} = \frac{\dot{Q}_X}{\dot{Q}_{\text{СК}} + N_{\text{НС}} + N_{\text{НТ}} + N_{\text{НХ}} + \dot{Q}_{\text{ГБ}}} \quad (6.2)$$

3) Коефіцієнт перетворення холодильної установки повної мережі від первинного енергоресурсу:

$$COP_{\Sigma} = \frac{\dot{Q}_X}{\frac{\sum N_H}{\eta_{\text{ЕЛ}} \cdot COP_{\text{ТЕС}} \cdot COP_{\text{ЛЕП}}} + \dot{Q}_{\text{ГБ}}} \quad (6.3)$$

Даний коефіцієнт відображає той факт, що витрачена на привод насосів електроенергія генерується за рахунок згорання викопного палива і втрат по лініям електропередачі.

У рівнянні 6.3 позначено:

- $\dot{Q}_X$  - холодопродуктивність установки;
- $\sum N_H = N_{\text{НС}} + N_{\text{НТ}} + N_{\text{НХ}}$  - сума ефективної потужності насосів циркуляції розсільної рідини в геліосистемі, теплоносія (води) в проміжному контурі і холодаагенту в контурі пароежекторної холодильної машини;

Змн.	Арк.	№ докум.	Підпис	Дата	ХМ 07.00.00.00 ПЗ	Арк.
53						

- $\eta_{\text{ЕЛ}}$  - ККД електродвигунів насосів, для розрахунку приймаємо  $\eta_{\text{ЕЛ}} = 0,95$ ;
- $COP_{\text{ТЕС}}$  - коефіцієнт перетворення хімічної енергії викопного палива в електроенергію на теплових електростанціях (ТЕС), для розрахунку приймають 0,3...0,35, [2];
- $COP_{\text{ЛЕП}}$  - коефіцієнт перетворення ліній електропередач (враховуючи електротрансформацію), для розрахунку приймають 0,97...0,99, [2];
- $\dot{Q}_{\text{ГБ}}$  - теплове навантаження на газовий бойлер для бівалентного режиму роботи холодильної установки.

Як випливає з розрахунків в розділі 5 значення теплового навантаження на сонячний колектор і ефективні потужності насосів в геліосистемі залежать від режиму роботи і частки перерозподілу теплоти  $\chi$ .

Необхідно відзначити, що в рівнянні для  $COP_{\Sigma}$  відсутній тепловий потік від сонячної радіації. У цьому випадку враховується економічний аспект поняття ККД, а саме відновлюваність даного природного джерела теплоти на відміну від викопних видів палива.

Виконуємо розрахунки:

$$COP_{\text{II}} = \frac{5}{37,612 + 0,143} = 0,132.$$

$$COP_{\text{ХУ}} = \frac{5}{38,364 + 0,143 + 0,149 + 0,132} = 0,129 \text{ (для моновалентного режиму роботи).}$$

Змн.	Арк.	№ докум.	Підпис	Дата	ХМ 07.00.00.00 ПЗ	Арк.
						54

$$COP_{\Sigma} = \frac{5 \cdot 0,95}{0,143 \cdot 0,149 \cdot 0,132} + 0,3 \cdot 0,98 \\ = 3,293 \text{ (для моновалентного режиму роботи).}$$

Для бівалентного режиму роботи результати розрахунку зведені до таблиці 5.1.

Таблиця 5.1. Енергоефективність холодильної установки

№	$t_{2T}$	$\dot{Q}_{\Gamma\beta}$	$\dot{Q}_{CK}$	$\Sigma N_H$	$\Sigma N_{H,EL}$	$COP_{XY}$	$COP_{\Sigma}$
	°C	кВт	кВт	кВт	кВт	—	—
1	95	0	38,364	0,427	0,449	0,129	3,293
2	90	9,4	28,75	0,4286	0,4511	0,1296	0,457
3	85	18,8	19,188	0,4288	0,4513	0,130	0,2459
4	80	28,2	9,591	0,429	0,4515	0,131	0,168

Використання коефіцієнта перетворення  $COP_{\Sigma}$  дозволяє виконати порівняння між тепловикористовуючою і парокомпресійною холодильною установкою.

У якості об'єкту порівняння була прийнята парокомпресійна холодильна машина, працююча на холодаагенті R134a з параметрами циклу  $t_0 = 0$  °C та  $t_k = 30$  °C, температура всмоктування в компресор після перегріву в регенеративному теплообміннику складає 12,6 °C; ізоентропний ККД в процесі стиснення прийнято рівним 70%.

Згідно з розрахунком в COOLPACK маємо:

$$\dot{Q}_X = 5 \text{ кВт};$$

$$N_E = 0,932 \text{ кВт};$$

$$COP_E = 5,36.$$

Змн.	Арк.	№ докум.	Підпис	Дата	ХМ 07.00.00.00 ПЗ	Арк.
						55

При перерахунку потужності в електричну  $N_{\text{ЕЛ}} = 0,982 \text{ кВт}$ :

$$COP_{\Sigma} = \frac{\dot{Q}_X}{N_{\text{ЕЛ}}} = \frac{5 \cdot 0,3 \cdot 0,98}{0,982} = 1,496.$$
$$\frac{\dot{Q}_X}{COP_{\text{ТЕС}} \cdot COP_{\text{ЛЕП}}}$$

Результати цього розрахунку показують, що пароежекторна холодильна машина з геліосистемою і проміжним контуром, працююча в моновалентному режимі (без теплового навантаження від газового бойлера) більш енергоефективна, ніж парокомпресійна ( $COP_{\Sigma}$ )<sub>ПЕХМ</sub> > ( $COP_{\Sigma}$ )<sub>ПКХМ</sub>, ( $3,293 > 1,496$ ), у 2,2 рази.

Для бівалентного режиму роботи можна реалізувати дogrів з використанням теплоти продуктів згорання теплогенераторів, котельних установок. У цьому випадку необхідно враховувати енергоефективність системи спільногo вироблення тепла і холоду. У даній роботі ця задача не передбачена.

Крім представленого вище аналізу енергоефективності по величині коефіцієнта перетворення найбільш коректним показником (для холодильних установок, що гібридні за формулою енергії, яка витрачається) є величина ексергетичної ефективності, але така оцінка умовою роботи не передбачена.

Недоліком розглянутої установки є порівняно великий показник питомої поверхні сонячного колектору на одиницю холодопродуктивності. Для найбільш економічного режиму по затратам енергії маємо:

$$a_F = \frac{F_{\text{СК}}}{Q_X} = \frac{20,5}{5} = 4,1 \frac{\text{м}^2}{\text{кВт}}.$$

Зниження цього показника можливе для бівалентних режимів, але з погіршенням енергоефективності.

Змн.	Арк.	№ докум.	Підпис	Дата	ХМ 07.00.00.00 ПЗ	Арк.
56						

Більш економічний шлях - це збільшення коефіцієнту ежекції для ежектору, для чого пропонуються:

- провести дослідження на більш високих температурних холодоагентах, наприклад, R236fa та R245fa;
- провести дослідження підігріву пасивного потоку;
- оцінити можливість застосування двофазного ежекторного стиснення.

Змн.	Арк.	№ докум.	Підпис	Дата	ХМ 07.00.00.00 ПЗ	Арк.
						57

## 6. РОЗРАХУНОК ГЕОМЕТРИЧНИХ ПАРАМЕТРІВ ЕЖЕКТОРУ

### 6.1. Вихідні дані (з розділу 4):

1. Активний потік на вході в робоче сопло:

- тиск,  $P_{1A} = 10^6$  Па;
- температура,  $t_{1A} = 90^\circ\text{C}$ ;
- питомий об'єм,  $v_{1A} = 0,04261 \frac{\text{м}^3}{\text{кг}}$ ;
- масова витрата,  $\dot{m}_A = 0,08478 \frac{\text{кг}}{\text{с}}$ ;
- об'ємна витрата,  $\dot{V}_{1A} = 0,003612 \frac{\text{м}^3}{\text{с}}$ ;
- швидкість пари на вході,  $w_{1A} = 10 \frac{\text{м}}{\text{с}}$ ;

2. Активний потік на виході з робочого сопла:

- тиск,  $P_{2A} = 0,852 \cdot 10^{-5} = 85200$  Па;
- температура,  $t_{2A} = 17,33^\circ\text{C}$ ;
- питомий об'єм,  $v_{2A} = 0,47375 \frac{\text{м}^3}{\text{кг}}$ ;
- швидкість пари на виході,  $w_{2A} = 435,158 \frac{\text{м}}{\text{с}}$ ;
- об'ємна витрата,  $\dot{V}_{2A} = 0,040164 \frac{\text{м}^3}{\text{с}}$ ;

3. Пасивний потік на вході в приймальну камеру:

- тиск,  $P_{1\Pi} = 1,032$  бар = 103200 Па;
- температура,  $t_{1\Pi} = 0^\circ\text{C}$ ;
- питомий об'єм,  $v_{1\Pi} = 0,36214 \frac{\text{м}^3}{\text{кг}}$ ;
- масова витрата,  $\dot{m}_\Pi = 0,016108 \frac{\text{кг}}{\text{с}}$ ;
- об'ємна витрата,  $\dot{V}_{1\Pi} = 0,00583 \frac{\text{м}^3}{\text{с}}$ ;

Змн.	Арк.	№ докум.	Підпис	Дата

*ХМ 07.00.00.00 ПЗ*

Арк.

58

4. Пасивний потік у площині вихода активного потоку з робочого сопла:

- тиск,  $P_{2\Pi} = P_{2A} = 85200 \text{ Па}$ ;
- температура,  $t_{2\Pi} = -5^\circ\text{C}$ ;
- питомий об'єм,  $v_{2\Pi} = 0,43308 \frac{\text{м}^3}{\text{кг}}$ .

## 6.2. Алгоритм розрахунку

1. Площа вхідного перетину робочого сопла:

$$f_{1A} = \dot{V}_{1A} / w_{1A}, \text{ м}^2;$$

приймаємо  $w_{1A} = 10 \frac{\text{м}}{\text{с}}$ , тоді:

$$f_{1A} = 0,003612 / 10 = 0,00036 \text{ м}^2.$$

2. Площа критичного перетину сопла:

$$f_{kp} = \frac{\dot{m}_A \cdot w_{kp}}{\pi_{kp} \cdot P_{1A}}, \text{ м}^2;$$

$$f_{kp} = \frac{0,08478 \cdot 207,54}{0,60157 \cdot 10^6} = 0,0000292 \text{ м}^2,$$

де  $w_{kp}$  – критична швидкість пари активного потоку;

$$w_{kp} = \sqrt{2k_y/(k_y + 1)} \cdot \sqrt{P_{1A} \cdot v_{1A}}, \frac{\text{м}}{\text{с}}$$

$$w_{kp} = \sqrt{2 \cdot 1,022 / (1,022 + 1)} \cdot \sqrt{10^6 \cdot 0,04261} = 207,54 \frac{\text{м}}{\text{с}}$$

де  $k_y$  – умовний показник ізоентропи [6.1]

$$k_y = \frac{\sigma_{SY}}{\sigma_{SY} - 1} = \frac{46,655}{46,655 - 1} = 1,022.$$

Змн.	Арк.	№ докум.	Підпис	Дата	Арк.
					ХМ 07.00.00.00 ПЗ 59

$$\sigma_{SY} = \frac{h_{1A} - h_{2A}}{P_{1A} \cdot v_{1A} - P_{2A} \cdot v_{2A}} = \frac{(716,85 - 612,04) \cdot 10^3}{10^6 \cdot 0,04261 - 85200 \cdot 0,47375} = 46,655.$$

$\pi_{kp}$  – відносний тиск в критичному перетині:

$$\pi_{kp} = \left( \frac{2}{k_y + 1} \right)^{\frac{k_y}{k_y - 1}} = \left( \frac{2}{1,022 + 1} \right)^{\frac{1,022}{0,022}} = 0,60157$$

3. Площа вихідного перетину робочого сопла:

$$f_{2A} = \frac{\dot{m}_A \cdot v_{2A}}{w_{2A}}, \text{ м}^2;$$

$$f_{2A} = \frac{0,08478 \cdot 0,47375}{435,158} = 0,0000923 \text{ м}^2.$$

4. Площа перетину циліндричної ділянки камери змішання при:

$$\Pi_A = \frac{P_{1A}}{P_{1\Pi}} = \frac{10^6}{103200} = 9,69;$$

$$\Pi_K = \frac{P_K}{P_{1\Pi}} = \frac{2,814}{1,032} = 2,727.$$

$$(f_3/f_{kp})_{opt} = \frac{1,51 \cdot \Pi_A - 4,98}{\Pi_K - 0,958} - 0,384 \cdot \Pi_A + 2,9 = 4,636;$$

звідси  $f_3 = 4,636 \cdot f_{kp} = 4,636 \cdot 0,0000292 = 0,0001354 \text{ м}^2$ .

5. Відношення площ конічної ділянки до циліндричної:

$$\beta = \frac{f_2}{f_3};$$

$$\begin{aligned} \beta_{opt} &= 2 \cdot 10^6 \cdot \Pi_A^3 - 1,81 \cdot 10^{-4} \cdot \Pi_A^2 + 0,83 \cdot 10^{-2} \cdot \Pi_A + 1,15 \\ &= 2 \cdot 10^6 \cdot 9,63^3 - 1,81 \cdot 10^{-4} \cdot 9,63^2 + 0,83 \cdot 10^{-2} \cdot 9,63 + 1,15 \\ &= 1,215. \end{aligned}$$

Змн.	Арк.	№ докум.	Підпис	Дата	Арк.
					60

6. Площа перетину конічної ділянки камері змішання:

$$f_2 = \beta_{\text{опт}} \cdot f_3;$$

$$f_2 = 1,215 \cdot 0,0001354 = 0,0001645 \text{ м}^2.$$

7. Площа перетину на виході з дифузора:

$$f_4 = \frac{(\dot{m}_A + \dot{m}_\Pi) \cdot v_4}{w_4}, \text{ м}^2;$$

$$f_4 = \frac{(0,08478 + 0,016108) \cdot 0,16277}{20} = 0,0008211 \text{ м}^2.$$

8. Діаметр перетину:

$$d = \sqrt{\frac{4 \cdot f}{\pi}}$$

### 6.3. Розрахунок основних розмірів ежектору:

На рисунку 6.1 представлені позначення основних розмірів ежектору:

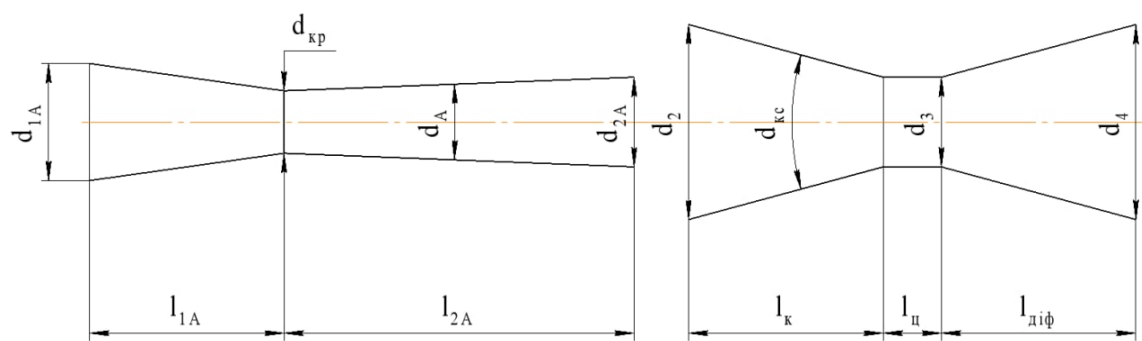


Рисунок 6.1. Геометричні параметри основних елементів ежектора

На основі значень площ для активного і змішаного потоку (розділ 6.2) отримаємо:

$$d_{1A} = \sqrt{\frac{4 \cdot f_{1A}}{\pi}} = \sqrt{\frac{4 \cdot 0,00036}{3,14}} = 0,0214 \text{ м} = 21,4 \text{ мм};$$

Змн.	Арк.	№ докум.	Підпис	Дата

$$d_{kp} = \sqrt{\frac{4 \cdot f_{kp}}{\pi}} = \sqrt{\frac{4 \cdot 0,0000292}{3,14}} = 0,0061 \text{ м} = 6,1 \text{ мм};$$

$$d_{2A} = \sqrt{\frac{4 \cdot f_{2A}}{\pi}} = \sqrt{\frac{4 \cdot 0,0000923}{3,14}} = 0,01084 \text{ м} = 10,84 \text{ мм};$$

$$d_3 = \sqrt{\frac{4 \cdot f_3}{\pi}} = \sqrt{\frac{4 \cdot 0,0001334}{3,14}} = 0,0131 \text{ м} = 13,1 \text{ мм};$$

$$d_2 = \sqrt{\frac{4 \cdot f_2}{\pi}} = \sqrt{\frac{4 \cdot 0,0001645}{3,14}} = 0,01447 \text{ м} = 14,5 \text{ мм};$$

$$d_4 = \sqrt{\frac{4 \cdot f_4}{\pi}} = \sqrt{\frac{4 \cdot 0,0008211}{3,14}} = 0,03234 \text{ м} = 32,34 \text{ мм};$$

Осьові розміри:

- довжина конфузорної ділянки робочого сопла:

$$l_{1A} = 2 \cdot d_{kp} = 2 \cdot 6,1 = 12,2 \text{ мм};$$

- довжина дифузорної ділянки робочого сопла:

$$l_{2A} = \frac{d_2 - d_{kp}}{2 \cdot \operatorname{tg}(\alpha_A/2)} = \frac{10,84 - 6,1}{2 \cdot \operatorname{tg} 7^\circ} = 19,3 \text{ мм};$$

- довжина конічної ділянки камері змішання:

$$l_K = \frac{d_2 - d_3}{2 \cdot \operatorname{tg}(\alpha_{KC}/2)},$$

де приймаємо  $\alpha_{KC} = \alpha_A = 14^\circ$ , тоді:

$$l_K = \frac{14,5 - 13,1}{2 \cdot \operatorname{tg} 7^\circ} = 5,7 \text{ мм};$$

Змн.	Арк.	№ докум.	Підпис	Дата

ХМ 07.00.00.00 ПЗ

Арк.

62

- довжина циліндричної ділянки камері змішання:

$$l_{\text{Ц}} = d_3 = 13,1 \text{ мм};$$

- осьова довжина дифузора:

$$l_{\text{Диф}} = \frac{d_4 - d_3}{2 \cdot \operatorname{tg}(\alpha_{\text{Д}}/2)} = \frac{32,34 - 13,1}{2 \cdot \operatorname{tg}5^\circ} = 109,96 \text{ мм};$$

Приймаємо  $l_{\text{Диф}} = 110 \text{ мм.}$

Змн.	Арк.	№ докум.	Лідпіс	Дата

ХМ 07.00.00.00 ПЗ

Арк.

63

## **7. ОХОРОНА ПРАЦІ**

### **7.1. Вимоги охорони праці до розміщення холодильного обладнання**

Забороняється розміщувати в одному приміщенні з холодильною установкою обладнання з температурою поверхні вище 300° С, з відкритим полум'ям або вибухонебезпечне.

У машинних (апаратних) відділеннях холодильних установок для обслуговування холодильного обладнання та арматури, розташованих на висоті вище 1,8 м від підлоги, передбачаються металеві площацки зі сходами та огорожею (перилами) заввишки не менше 1 м з суцільним металевим зашиттям по низу (бортником) висотою не менше 0,15 м.

Дозволяється не влаштовувати площацку для одночної, рідко використовуваної арматури, розташованої вище 1,8 м від підлоги. В цьому випадку арматура обслуговується з переносною драбини.

Для екстреного відключення електро живлення всього устаткування (крім аварійної вентиляції та освітлення) неагрегатованих холодильних установок (компресори, насоси, вентилятори) у одного з виходів з машинного відділення монтується кнопка (червоного кольору) загального аварійного відключення.

Для захисту працівників від наслідків можливих руйнувань елементів обладнання і трубопроводів холодильних установок слід, зокрема, передбачати:

- а) прилади протиаварійного автоматичного захисту;
- б) запобіжні пристрої по тиску;
- в) своєчасний огляд посудин (апаратів), що працюють під тиском і що входять до складу холодильних установок, і трубопроводів.

Змн.	Арк.	№ докум.	Підпис	Дата	ХМ 07.00.00.00 ПЗ	Арк.
64						

Системи контролю, управління і протиаварійного автоматичного захисту розміщаються в місцях, зручних і безпечних для обслуговування. У цих місцях не допускається вібрація, забруднення продуктами технології, механічні та інші шкідливі впливи, що впливають на точність, надійність і швидкодію систем [7].

## 7.2. Правила експлуатації холодильної установки

Роботи з технічного обслуговування холодильних установок, регулювання та усунення несправностей повинні проводитися з дотриманням цих правил. Планові огляди і ревізії холодильних установок повинні проводитися відповідно до затвердженого графіка, складеного з урахуванням рекомендацій РЕ і умов експлуатаціїожної установки. Проходи поблизу машин і апаратів повинні бути завжди вільні, а підлоги проходів - в справному стані. Доступ до рухомих частин машини дозволяється тільки після повної зупинки і вжити всі заходи проти пуску машин сторонніми особами. Забороняється експлуатація холодильної установки з несправними приладами захисної автоматики. Куріння і користування відкритим полум'ям в машинних відділеннях (а також в інших приміщеннях, де встановлено холодильне обладнання) забороняється [8].

Пуск холодильної установки після її зупинки на тривалий час (більше 24 год) може бути проведений тільки після перевірки справності установки і з дозволу особи, відповідальної за безпечну експлуатацію. Експлуатація холодильної установки повинна бути відображеня в добовому журналі її роботи. При обслуговуванні холодильної установки повинен проводитися візуальний огляд обладнання, перевірка його герметичності, очищення поверхні обладнання від бруду і пилу. Всі помічені дефекти повинні заноситися в журнал із зазначенням заходів щодо їх усунення. Для виявлення

Змн.	Арк.	№ докум.	Підпис	Дата	ХМ 07.00.00.00 ПЗ	Арк.
65						

місця витоку хладону дозволяється користуватися Галоїдне і іншими течошукачами, мильною піною, полімерними індикаторами герметичності. Наявність слідів масла в роз'ємних з'єднаннях, бульбашок при омиванням зварних з'єднань, зміна кольору полум'я вказують на витік хладону. При виявленні витоку хладону компресор необхідно зупинити, перекрити запірною арматурою пошкоджену ділянку, включити витяжну вентиляцію і, відкривши вікна і двері, негайно усунути витік. Розкривати компресори, апарати і трубопроводи дозволяється тільки після того, як тиск хладону буде знижений до атмосферного і залишається постійним протягом 20 хв. Забороняється розкривати апарати з температурою стінок менше мінус 35°C [8].

Концентрація розсолу, що проходить всередині труб випарників, повинна бути такою, щоб температура замерзання розсолу була на 8°C нижче температури кипіння хладону. Температура охолоджуючої води на виході з сорочок циліндрів компресора не повинна бути більше 45°C.

Забороняється видалення інею механічним способом з батареї безпосереднього охолодження (допускається обмітання інею). При видаленні снігової шуби з охолоджувальних пристройів шляхом їх нагрівання тиск в батареях і повіtroохолоджувачах не повинно перевищувати тиску випробування на щільність для апаратів (судин) сторони низького тиску. Механічне очищення від водяного каменю трубок кожух-трубних апаратів (конденсаторів і випарників з між трубним кипінням) повинна проводитися тільки після звільнення їх від хладону під безпосереднім наглядом особи, відповіальної за безпечну експлуатацію установки. Застосування зварювання і пайки при ремонті фреонових машин, апаратів і трубопроводів на діючих установках повинно проводитися під наглядом старшого технічного персоналу і наявності письмового дозволу особи, відповіальної на підприємстві за справний стан, правильну і безпечну експлуатацію холодильних установок.

Змн.	Арк.	№ докум.	Підпис	Дата	Арк.
					66

Перед зварюванням або паянням слід видалити хладон з апаратів і трубопроводів. Зварювання та пайка повинні проводитися відповідно до "Правил пожежної безпеки при проведенні зварювальних і інших вогневих робіт на об'єктах народного господарства". У разі перерви в роботі установки в зимовий час, при небезпеці замерзання води, остання повинна бути видалена з усіх машин і апаратів з водяним охолодженням, а також з водяних магістралей. Забороняється додавання до Хладону або до їх суміші інших додаткових холодильних агентів без узгодження з заводами - виготовлювачами фреонових холодильних машин або агрегатів.

Змн.	Арк.	№ докум.	Підпис	Дата	ХМ 07.00.00.00 ПЗ	Арк.
67						

## 8. ПІДБІР ОСНОВНОГО ОБЛАДНАННЯ

### 8.1. Підбір сонячного колектору

Для коректного підбору сонячного колектору для нашої схеми, підсумуємо потрібні величини:

- Холодопродуктивність,  $\dot{Q}_X = 5 \text{ кВт}$ ;
- тривалість роботи холодильної машини на добу,  $\tau_{ХМ} = 22 \text{ години}$ ;
- кількість теплоти, яке передається у випарнику холодаагенту на добу,  $\dot{Q}_B = 356,4 \text{ МДж}$ ;
- кількість теплоти, яке передається у парогенераторі холодаагенту на добу,  $Q_{ПГ} = 2681 \text{ МДж}$ ;
- вироблення теплоти в сонячних колекторах (максимальне теплове навантаження),  $Q_{СК,max} = 75,96 \text{ кВт} \cdot \text{год} = 273,46 \text{ МДж}$ ;
- Площа сонячних колекторів,  $F_{max} = 20,5 \text{ м}^2$ ;

Найбільш відповідним варіантом буде сонячний колектор TZ58/1800-30R1A фірми «Sun Rain».

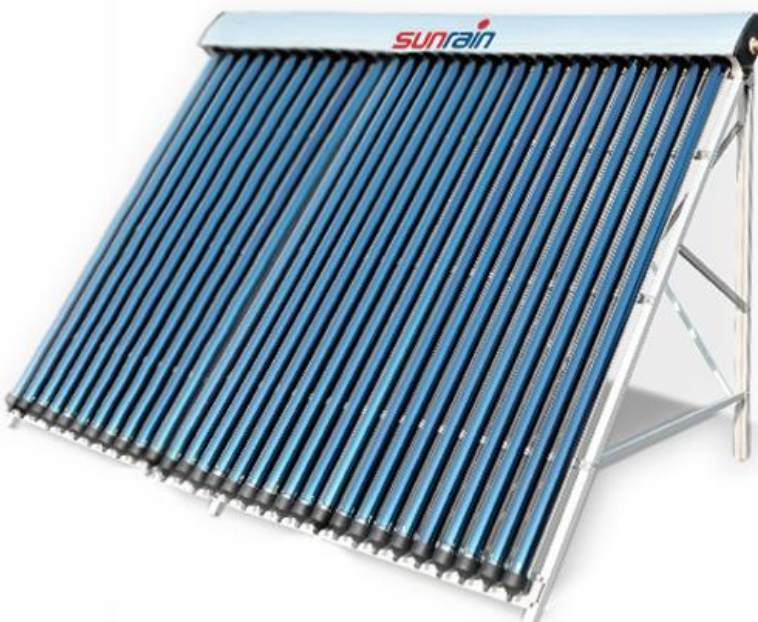


Рисунок 8.1. TZ58/1800-30R1A

Змн.	Арк.	№ докум.	Підпис	Дата	ХМ 07.00.00.00 ПЗ	Арк.
68						

Таблиця 8.1 – Характеристики сонячного колектору

TZ58/1800-30R1A [9]

Тип колектору	Вакуумний
Тип вакуумної трубки	Heat-pipe ALN/AIN-SS/Cu
Принцип роботи	Під тиском
Режим використання	Цілорічний
Кількість трубок	30
Площа апертури, м <sup>2</sup>	2,79
Діапазон температур н.с., °C	-30 - +60
Спосіб монтажа	Похилий
Кут нахилу, °	45
Термін служби	20 років
Товщина стінки, мм	1,8
Довжина трубок, мм	1800
Зовнішній діаметр трубок, мм	58
Вартість на ринку, грн	59 484,6

Потрібна кількість сонячних колекторів :

$$n_{\text{СК}} = \frac{F_{\text{СК}}}{F_a} = \frac{20,5}{2,79} = 7,35 \approx 8$$

Ринкова вартість сонячних колекторів, грн:

$$\text{Ц}_{\text{СК}} = 8 \cdot 59 484,6 = 475 877 \text{ грн}$$

## 8.2. Підбір парогенератора

Найбільш доречним є використання парогенератора Refcar RCS 145, характеристики наведені в таблиці 8.2.

Змн.	Арк.	№ докум.	Підпис	Дата	ХМ 07.00.00.00 ПЗ	Арк.
69						

Таблиця 8.2 – Характеристики парогенератора Refcar RCS 145 [10]

Потужність, кВт	144
Масова витрата, м <sup>3</sup> /год	25
Кількість контурів	1
Тиск, бар	30
Об'єм контуру холодоагента, л	17,8
Перепад тиску, кПа	54
Робоча температура, °C	-10 - +90
Габаритні розміри , мм	2110 x 260
Маса, кг	125
Вартість на ринку	59 670 грн



Рисунок 8.2. RCS 145

### 8.3. Підбір конденсатора

Згідно обраному схемному рішенню потрібно обрати фреоновий конденсатор. Я обрав модель «ECO KCE 64 C2» фірми «Luvata». Таблиця 8.3 – Характеристики конденсатору ECO KCE 64 C2 [11]

Струмінь повітря при низьких обертах, м <sup>3</sup> /год	17760
Струмінь повітря при високих обертах, м <sup>3</sup> /год	23400

Змн.	Арк.	№ докум.	Підпис	Дата	Арк.
					70

Поверхня теплообміну (вн./зовн.), м <sup>2</sup>	17,5/158
Об'єм труб, дм <sup>3</sup>	23,2
Вага, кг	243
Кількість вентиляторів	4
Діаметр вентиляторів, мм	630
Сила струму при низьких обертах, А	1,56
Сила струму при високих обертах, А	3,32
Потужність, кВт	45
Вартість на ринку, грн	36 255

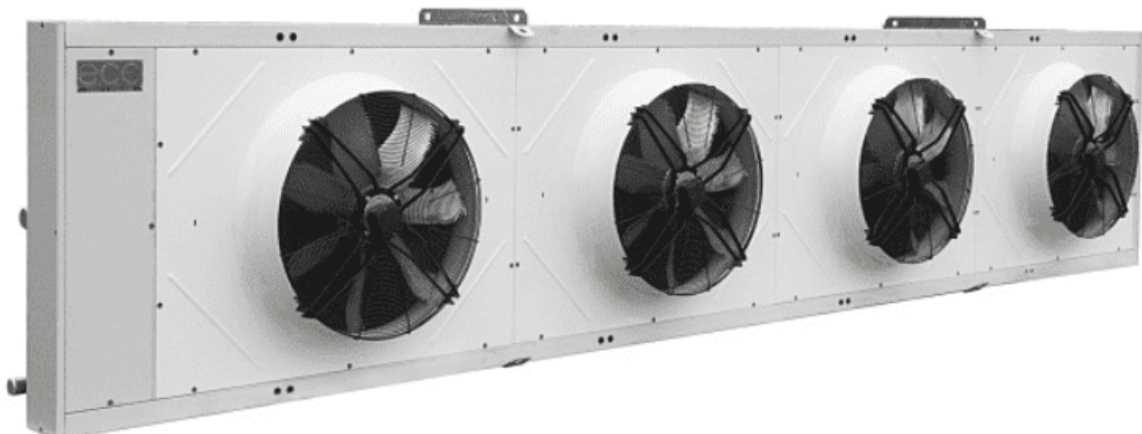


Рисунок 8.3. ECO KCE 64 C2

Змн.	Арк.	№ докум.	Підпис	Дата	Арк.
					71

ХМ 07.00.00.00 ПЗ

## ВИСНОВКИ

1. У розрахунку ПЕХМ виконано уточнення визначення коефіцієнта ежекції на основі опитних даних в ОДАХ.
2. Запропоновано процес стиснення в камері змішання і дифузорі розглядувати методом ККД ( $\eta_{CM}$ ) на базі експериментальних результатів Петренко В.А.
3. На запропоновані параметри холодильний агент R600 виявився найбільш відповідний.
4. Проведений розрахунок системи теплопостачання для парогенератора холодильної машини.
5. Результати розрахунку показників енергоефективності показують, що пароежекторна холодильна машина з геліосистемою і проміжним контуром, працююча в моновалентному режимі більш енергоефективна , ніж парокомпресійна ( у 2,2 рази).
6. Розрахувавши основні параметри, був побудований ежектор на кресленні формату А1.
7. Я підібрал основне обладнання (сонячний колектор, парогенератор, конденсатор) згідно схемного рішення.

Змн.	Арк.	№ докум.	Підпис	Дата	Арк.
					72

ХМ 07.00.00.00 ПЗ

## СПИСОК ВИКОРИСТАНИХ ДЖЕРЕЛ

1. Петренко В.А. Теоретическое и экспериментальное исследование методов повышения эффективности эжекторной холодильной машины / Петренко В.А., Воловик А.С., Шестопалов К.А., Хуанг Б.Г. // Стадій розвиток і штучний холод / Збірник наукових праць VIII міжнародної науково-технічної конференції. – Херсон: Гринь Д.С., 2012. – 638 с. 4.1
2. Тепловые и конструктивные расчеты холодильных машин: Учебн. Пособие для вузов по специальности «Холодильные и компрессорные машины и установки» / Е.М. Бамбушек, Н.Н. Бухарин, Е.Д. Герасимов и др.; Под. общ. ред. И.А. Сакуна. – Л. :Машиностроение. Ленингр. отд-ние, 1987. – 423 с. 4.2
3. Захаров Ю.В. Судовые установки кондиционирования воздуха и холодильные машины. Л. :Судостроение, 1979. – 583 с. 4.3
4. Петренко В.А. Каскадные и комбинированные компрессорно-эжекторные холодильные машины, работающие на природных рабочих веществах / Петренко В.А., Ерин В.А. // Стадій розвиток і штучний холод / Збірник наукових праць VIII міжнародної науково-технічної конференції. – Херсон: Гринь Д.С., 2012. – 638 с. 4.4
5. Соколов Е.Я., Зингер Н.М. Струйные аппараты . М., Энергия, 1970. – 285с. 4.5.
6. Міжгалузеві правила з охорони праці при експлуатації холодильних установок дата запиту 16.11.2022  
<https://uadoc.zavantag.com/text/36015/index-1.html>.
7. Загальні положення щодо безпечної експлуатації холодильних установок дата запиту 17.11.2022 <https://buklib.net/books/35212/>.
8. Системи сонячного теплопостачання дата запиту 21.11.2022  
<https://lektssi.org/6-37835.html>.

Змн.	Арк.	№ докум.	Підпис	Дата	ХМ 07.00.00.00 ПЗ	Арк.
						73

9. Вакуумний сонячний колектор дата запиту 11.12.2022

[https://geoid.org.ua/altek-sunrain-tz581800-30r1a.](https://geoid.org.ua/altek-sunrain-tz581800-30r1a)

10. Парогенератор дата запиту 11.12.2022

[https://intercool.com.ua/teploobmennik-kozhuhotrubnyj-refkar-rcs-145.html.](https://intercool.com.ua/teploobmennik-kozhuhotrubnyj-refkar-rcs-145.html)

11. Конденсатор на фреоні дата запиту 11.12.2022

[https://holodprom.com.ua/конденсатор-eco-kce-64-c2.html.](https://holodprom.com.ua/конденсатор-eco-kce-64-c2.html)

Змн.	Арк.	№ докум.	Підпис	Дата	ХМ 07.00.00.00 ПЗ	Арк.
						74